



POLITECHNIKA WARSZAWSKA



WYDZIAŁ

MECHANICZNY ENERGETYKI I LOTNICTWA

ZAKŁAD MASZYN I URZĄDZEŃ ENERGETYCZNYCH

PRACA DYPLOMOWA
INŻYNIERSKA

Piotr Klukowski

Rozbudowa układu pomiarowego turbiny gazowej

Expansion of the measurement system of the gas turbine

Nr albumu: 252662

Energetyka

Systemy i urządzenia energetyczne

Promotor: dr inż. Konrad Wojdan

Warszawa, luty 2016

Oświadczenie autora (autorów) pracy

Świadom odpowiedzialności prawnej oświadczam, że przedstawiona praca dyplomowa:

- została napisana przeze mnie samodzielnie i nie zawiera treści uzyskanych w sposób niezgodny z obowiązującymi przepisami,
- nie była wcześniej przedmiotem procedur związanych z uzyskaniem tytułu zawodowego lub stopnia naukowego w wyższej uczelni.

Oświadczam ponadto, że niniejsza wersja pracy jest identyczna z załączoną wersją elektroniczną.

.....
data

.....
podpis autora (autorów) pracy

Oświadczenie

Wyrażam zgodę / ~~nie wyrażam zgody~~ *) na udostępnianie osobom zainteresowanym mojej pracy dyplomowej. Praca może być udostępniana w pomieszczeniach biblioteki wydziałowej. Zgoda na udostępnienie pracy dyplomowej nie oznacza wyrażenia zgody na jej kopiowanie w całości lub w części.

Brak zgody nie oznacza ograniczenia dostępu do pracy dyplomowej osób:
- reprezentujących władze Politechniki Warszawskiej,
- członków Komisji Akredytacyjnych,
- funkcjonariuszy służb państwowych i innych osób uprawnionych, na mocy odpowiednich przepisów prawnych obowiązujących na terenie Rzeczypospolitej Polskiej, do swobodnego dostępu do materiałów chronionych międzynarodowymi przepisami o prawach autorskich. Brak zgody nie wyklucza także kontroli tekstu pracy dyplomowej w systemie antyplagiatowym.

.....
data

.....
podpis autora (autorów) pracy

*) niepotrzebne skreślić

SŁOWA KLUCZOWE: turbina gazowa, instalacja automatyki i opomiarowania,
stanowisko laboratoryjne

STRESZCZENIE

W pracy zaprezentowany został opis układu pomiarowego mikro turbiny gazowej, zbudowanej jako projekt Koła Naukowego Energetyków (KNE), oraz opis modyfikacji tego układu. Głównym celem pracy było stworzenie nomenklatury pomiarów i wdrożenie jej w istniejący kod mikrokontrolera zarządzającego pomiarami. Co więcej mikrokontroler ten został opisany, jak również oprogramowanie do jego programowania. Częściowo został przedstawiony kod programu wgranego w mikrokontrolerze pomiarowym oraz mikrokontrolerze sterującym turbiną. Przedstawione zostały również zmiany i modyfikacje czujników temperatury (termopary) i czujnika obrotów wału alternatora. Dodatkowo została napisana instrukcja dodawania nowych pomiarów temperatury, jak również problemy jakie mogą wystąpić w przypadku dodawania pomiarów innego typu. Ostatnią częścią tej pracy jest dokończenie sekwencji autostartu mikro turbiny.

ABSTRACT

In this thesis a description of the measurement system of a gas micro turbine, built as a project of “Koło Naukowe Energetyków (KNE)”, is presented with its alteration. The main purpose of work was creation of a map of measurements and implementation of aforementioned in the code of the measurement microcontroller which is described alongside with software for its programming. Also the code uploaded in the measurement microcontroller as well as the control one is partially presented. Moreover, changes and modifications of temperature sensors (thermocouples) and a rotation sensor of alternator shaft are specified. Additionally, the instruction of adding new temperature measurements is described, as well as possible problems with other types of measurements. Completing the sequence of automatic startup was the last part of this work.

SPIS TREŚCI

| | |
|--|-----------|
| 1. WSTĘP | 9 |
| 2. MIKROTURBINA | 9 |
| 3. ARDUINO | 11 |
| 3.1. MIKROKONTROLER..... | 11 |
| 3.2. OPROGRAMOWANIE..... | 13 |
| 4. MODERNIZACJA CZUJNIKÓW | 15 |
| 4.1. CZUJNIK OBROTÓW ALTERNATORA | 15 |
| 4.2. TERMOPARY | 16 |
| 5. KOD | 20 |
| 5.1. PRZYKŁADOWY KOD..... | 20 |
| 5.2. OPIS ZMIAN W KODZIE MIKROKONTROLERA POMIAROWEGO | 22 |
| 5.3. KOD MIKROKONTROLERA POMIAROWEGO | 23 |
| 6. KOMUNIKACJA Z SYSTEMEM SCADA | 26 |
| 6.1. KOMUNIKACJA PRZEZ PORT SZEREGOWY USB | 26 |
| 6.2. MAPOWANIE..... | 28 |
| 6.3. ZMIANA SYSTEMU SCADA | 32 |
| 7. INSTRUKCJA DODAWANIA NOWYCH POMIARÓW | 34 |
| 7.1. CZUJNIK TEMPERATURY DS18B20..... | 34 |
| 7.2. TERMOPARA | 35 |
| 7.3. INNE POMIARY | 37 |
| 7.4. PODSUMOWANIE..... | 39 |

| | |
|--|---------------|
| 8. AUTOSTART..... | 40 |
| 8.1. OPIS DZIAŁANIA WRAZ Z KODEM..... | 40 |
| 8.2. TRYB PRACY TURBINY PO AUTOSTARCIE..... | 45 |
| 9. ZAKOŃCZENIE..... | 47 |
| DODATEK A: KOD MIKROKONTROLERA POMIAROWEGO..... | 48 |
| DODATEK B: KOD MIKROKONTROLERA STERUJĄCEGO..... | 51 |

1. WSTĘP

Tematem mojej pracy jest rozbudowa układu pomiarowego turbiny gazowej, która została zbudowana jako projekt Koła Naukowego Energetyków (KNE). Budowa układu zakończyła się w grudniu 2014 roku, pod koordynacją Jana Pleszyńskiego. Jego praca inżynierska [1] stanowiła bazę startową do mojej pracy.

Głównym celem pracy jest stworzenie komunikacji pomiędzy mikrokontrolerem Arduino, znajdującym się w szafie sterującej mikro turbiny, a systemem SCADA. System ten jest tworzony przez Krzysztofa Setlaka, w ramach pracy inżynierskiej [2], na bazie oprogramowania firmy Transition Technologies - EDS. Fizycznie granica naszych prac będzie na porcie szeregowym USB.

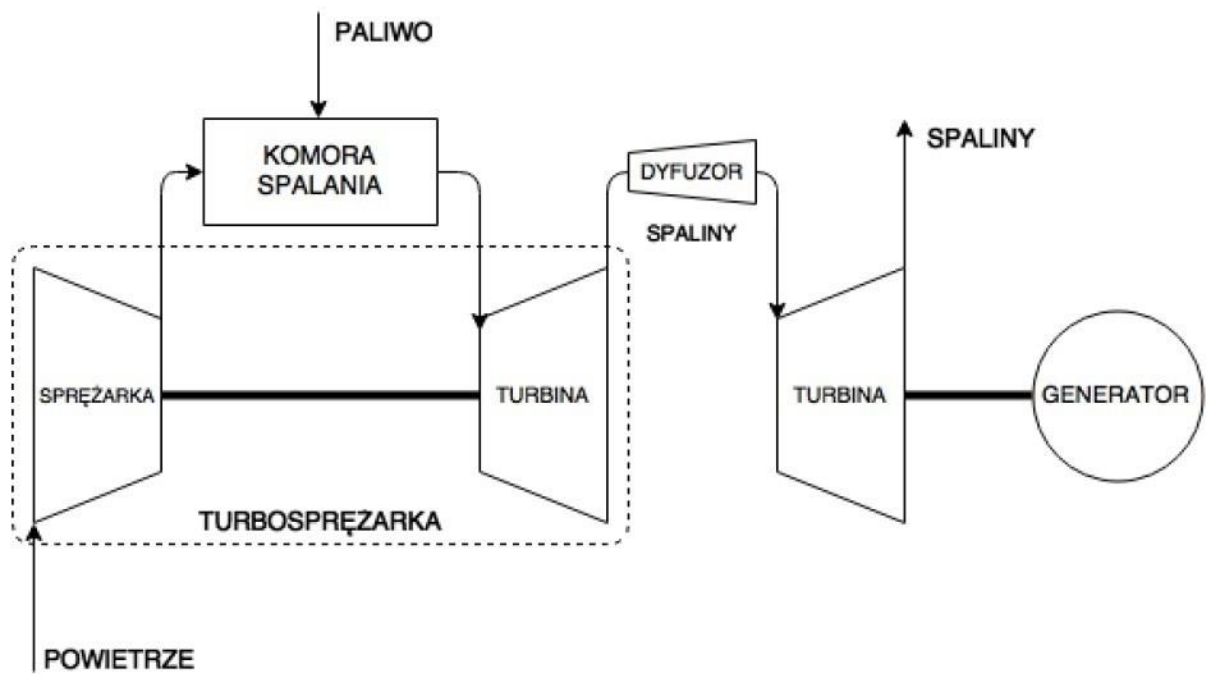
Dodatkowym, lecz koniecznym celem jest techniczna rozbudowa układu pomiarowego. Ma ona polegać na zmianie czujnika obrotów alternatora z optycznego na magnetyczny, ze względu na duży błąd pomiaru, oraz dodanie trzech pomiarów z termopar, poprzez specjalne moduły wzmacniające sygnał analogowy. Wcześniej pomiary wysokich temperatur były realizowane przez urządzenie automatyki LabJack.

Ostatnim celem jest dopracowanie sekwencji autostartu turbiny (kod Arduino), którego głównym problemem jest brak sprawdzenia płomienia, co jest bardzo niebezpieczne, ponieważ grozi zniszczeniem turbiny, gdyby do zapłonu doszło poza komorą spalania.

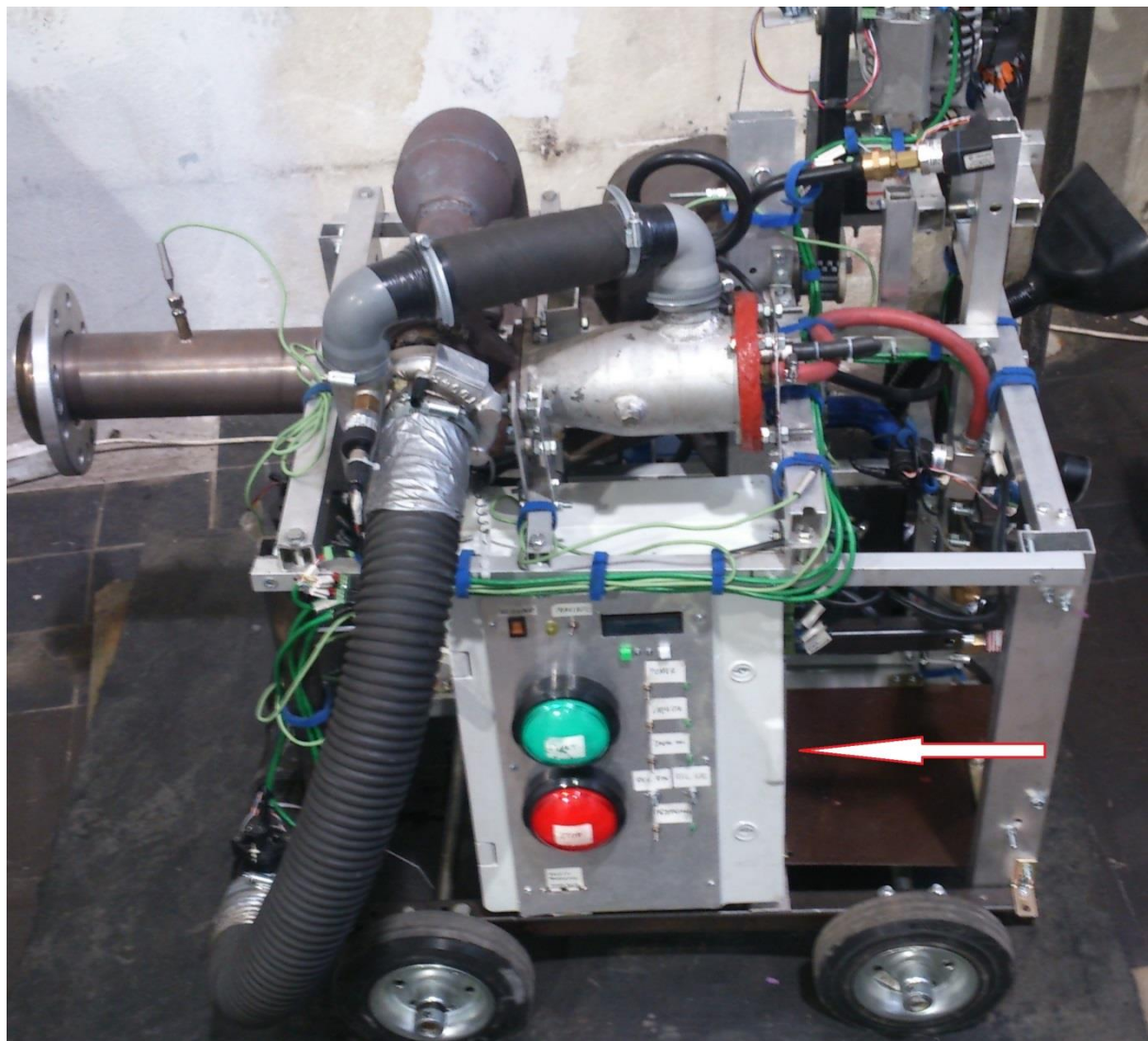
2. MIKROTURBINA

Zbudowany układ to dwustopniowa turbina, zbudowana z turbosprężarki samochodowej oraz turbiny turbocompund o mocy maksymalnej ok. 6kW, oraz sprawności ok. 6,5%, przy tej mocy. Schemat blokowy został przedstawiony na Rysunek 1. Na Rysunek 2 zdjęcie zrealizowanego projektu, bez części z komorą natryskową. Więcej na temat budowy mikro turbiny znajduje się w pracy dyplomowej inżynierskiej Jana Pleszyńskiego [1].

Moja praca skupia się na mikrokontrolerach znajdujących się w skrzynce sterującej. Skrzynka ta została przedstawiona wraz z turbiną i zaznaczona na Rysunek 2. Dokładny opis budowy skrzynki znajduje się w [1]. Natomiast nomenklatura pomiarów oraz aktualny opis podpięcia złącz do mikrokontrolera odpowiadającego za pomiar znajduje się w Mapowanie.



Rysunek 1. Schemat blokowy mikro turbiny gazowej (źródło: [4])



Rysunek 2. Zdjęcie mikro turbiny gazowej

3. ARDUINO

3.1. Mikrokontroler

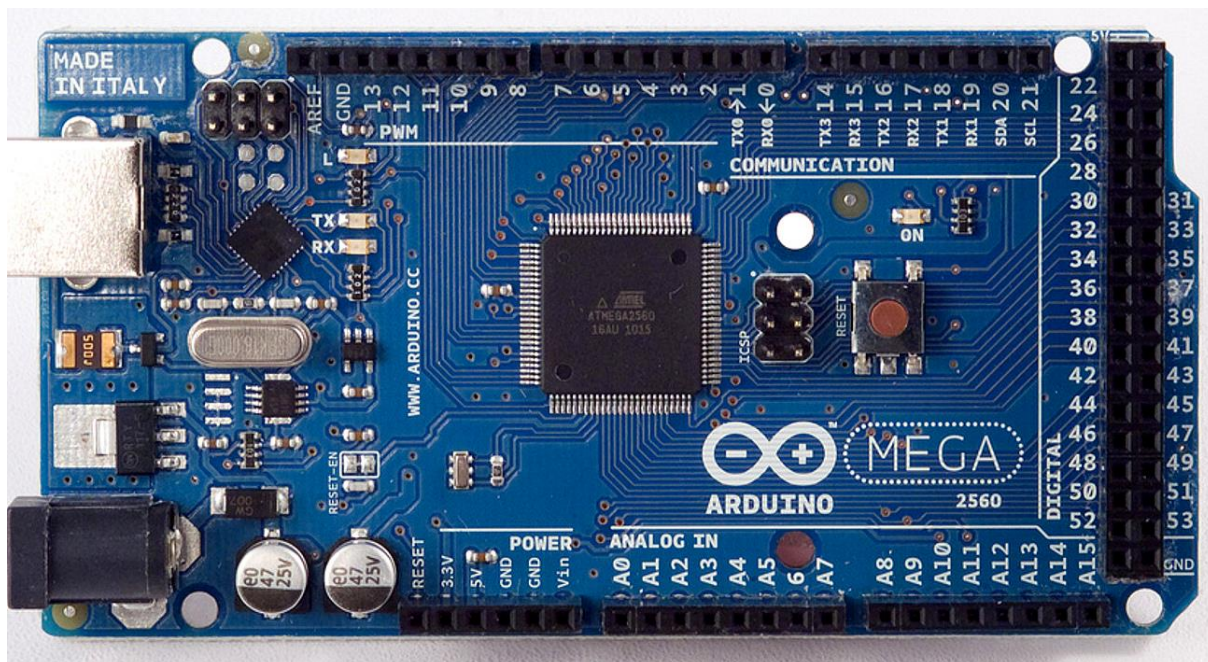
Arduino z punktu widzenia hardware'u jest mikrokontrolerem mającym postać płytki wyposażonej w złącze uniwersalnej magistrali szeregowej USB, służące do komunikacji z komputerem, a także inne złącza służące do podłączania zewnętrznych elementów elektronicznych takich jak diody, czy tranzystory. Język programowania Arduino jest oparty na środowisku Wiring i zasadniczo na języku C/C++. Celem projektu Arduino jest przygotowanie narzędzi ogólnodostępnych, tanich, nie wymagających dużych nakładów finansowych, elastycznych i łatwych w użyciu. Arduino stanowi również alternatywę dla osób, które nie mają dostępu do bardziej zaawansowanych kontrolerów.

W przypadku naszej mikro turbiny gazowej zostały użyte dwie płytki Arduino Mega, jedno do sterowania, drugie do zarządzania pomiarami. Na Rysunek 3 znajduje się tabela z parametrami technicznymi tych płytek.

Technical specs

| | |
|-----------------------------|---|
| Microcontroller | ATmega2560 |
| Operating Voltage | 5V |
| Input Voltage (recommended) | 7-12V |
| Input Voltage (limit) | 6-20V |
| Digital I/O Pins | 54 (of which 15 provide PWM output) |
| Analog Input Pins | 16 |
| DC Current per I/O Pin | 20 mA |
| DC Current for 3.3V Pin | 50 mA |
| Flash Memory | 256 KB of which 8 KB used by bootloader |
| SRAM | 8 KB |
| EEPROM | 4 KB |
| Clock Speed | 16 MHz |
| Length | 101.52 mm |
| Width | 53.3 mm |
| Weight | 37 g |

Rysunek 3. Tabela z danymi technicznymi Arduino Mega 2560 (źródło: [3])



Rysunek 4. Arduino Mega 2560 (źródło: hifiduino.wordpress.com)

Można zauważyć, że na płytce znajduje się 16 złącz analogowych (ang. analog pins) oraz 54 złącza cyfrowe (ang. digital pins), w tym 15 typu PWM (Pulse Width Modulation). Złącze typu PWM to takie złącze, na którym możemy nadawać sygnał okresowo zmienny - prostokątny, z częstotliwością ok. 500Hz (czas okresu = 2ms), którego szerokość możemy regulować. Szerokość sygnału jest to czas, w którym potencjał jest dodatni, czyli przyjmuje napięcie ok. 5V. W mikrokontrolerach Arduino modulacja taka jest 8-bitowa, czyli każdy okres 2ms, możemy wypełnić z rozdzielczością 1/256. Dzięki temu rozwiązaniu tzn. wypełniając część okresu, z napięcia na jakim pracuje mikrokontroler Arduino możemy uzyskać efekt jak przy napięciu wprost proporcjonalnemu do iloczynu napięcia operacyjnego (5V) z nadaną szerokością podzieloną przez 256.

Dodatkowo ważnym elementem jest port szeregowy (ang. serial port). Służy on do komunikacji, najczęściej z komputerem. Więcej na jego temat znajduje się przy opisie komunikacji z systemem SCADA (Komunikacja przez port szeregowy USB). Wracając do złącz cyfrowych ważnym jest, że o ile używamy któregośkolwiek z portów szeregowych (wersja Arduino Mega posiada ich 4), to nie możemy używać poszczególnych złącz cyfrowych (po 2 na każdy port), ponieważ służą one do transmisji/odbioru danych. W przypadku płytki Arduino Mega serial (domyślnie nr. 0) korzysta ze złącz cyfrowych 0(RX) i 1(TX), serial1 – 19(RX) i 18(TX), serial2 – 17(RX) i 16(TX), serial3 – 15(RX) i 14(TX). RX – oznacza złącze realizujące odbiór danych (ang. receive), zaś TX – przesył (ang. transmit).

Złącza analogowe służą do pomiaru wartości napięć sygnałów analogowych, których odczyt umożliwia 10-bitowy dzielnik napięcia (dokładność: 1/1024), który jest wbudowany w układ mikroprocesora. Dzielnik napięcia daje dokładność ok. 4,9mV przy napięciu referencyjnym 5V, które jest napięciem domyślnym dla dzielnika napięcia. Możliwa jest również zmiana tego napięcia na inne. Zrealizować to można na trzy sposoby: skorzystać z innego napięcia domyślnego – 3,3V, skorzystanie z napięcia wewnętrznego – 1,1V lub 2,56V, czy też doprowadzenie innego napięcia z zewnętrznego źródła. Górna granica tego napięcia wynosi 5V, zaś dolna 0V. Zmiana napięcia referencyjnego dotyczy wszystkich złączy analogowych. Jeżeli zajdzie taka potrzeba złącza analogowe mogą działać jako piny cyfrowe (z ominięciem dzielnika napięcia).

Warto również dodać, że do Arduino można dodawać tak zwane „shields”, są to nakładki na Arduino, które mogą wykorzystywać część złączy, np. do komunikacji WiFi. W tym przypadku na Arduino sterujące został nałożony „Proto Shield” – czyli shield do własnego zaprojektowania (przewody się wlotowuje). Do pomiarowego zaś nałożono „Screw shield”, w celu skręcenia przewodów do wejść Arduino. Skręcane złącza są na wszystkie złącza mikrokontrolera z wyjątkiem cyfrowych I/O o numerach 22-54. Połączenie z nimi wymaga wlutowania przewodów.

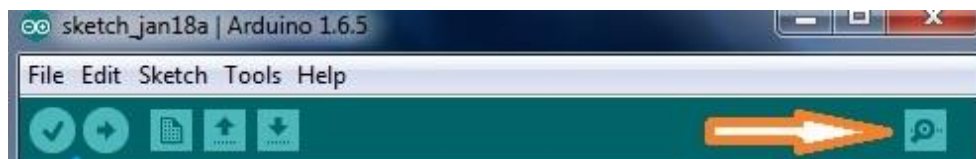
Na sam koniec chciałbym dodać, że najważniejszym na płycie jest mikrokontroler ATmega, który znajduje się na środku i może on działać samodzielnie po usunięciu z płytki. Więcej informacji na ten temat (programowania mikroprocesorów ATmega328 za pomocą Arduino) znajduje się w instrukcji dodawania nowych pomiarów (Inne pomiary), oraz na stronie producenta [3].

3.2. Oprogramowanie

Arduino IDE to środowisko programistyczne, które przeznaczone jest do pisania kodu dla mikrokontrolerów Otwartego Projektu Arduino, oraz urządzeń kompatybilnych. Mimo prostej formy program cechuje się bardzo rozbudowanymi dodatkami i bogatą dokumentacją. Język programowania Arduino jest oparty na środowisku Wiring.

Zaraz po uruchomieniu środowiska, ukazuje się pusty projekt. Od razu jest on gotowy do pracy i użytkownik może przejść do pisania kodu. Jeśli jednak ktoś zaczyna swoją pracę z elektroniką, może skorzystać z licznych opcji, które pomagają poprawnie zacząć nowy projekt. Jest to przede wszystkim baza gotowych projektów na stronie producenta oraz na wielu stronach poświęconym Otwartym Projektom Arduino.

Środowisko posiada także wbudowany moduł przykładów dla wykorzystania konkretnych funkcjonalności oferowanych przez urządzenie. Stanowi on alternatywę dla gotowych projektów, udostępniając jedynie zarys kodu niezbędnego do skorzystania z danej funkcji (file -> examples).



Rysunek 5. Pasek narzędzi programu ArduinoIDE

Oprogramowanie to posiada również tak zwany *Serial Monitor*. Umożliwia on podgląd danych przesyłanych z Arduino na port szeregowy USB komputera. Może posłużyć również do wysyłania danych do Arduino. Serial Monitor uruchamiamy przez naciśnięcie przycisku zaznaczonego czerwoną strzałką na Rysunek 5, lub poprzez skrót klawiszowy Ctrl+Shift+M. Więcej na temat przesyłu danych w KOMUNIKACJA Z SYSTEMEM SCADA, zaś otwarty *Serial Monitor* znajduje się na Rysunek 16. Zrzut ekranu serial monitora ArduinoIDE, po podłączeniu do Arduino pomiarowego mikro turbiny gazowej Rysunek 16 (Zmiana systemu SCADA). Widoczne jest tam pole tekstowe, pod nazwą okna dialogowego. Służy ono do wpisywania danych przekazywanych do mikrokontrolera po naciśnięciu przycisku „Send” znajdującego się po prawej stronie pola tekstowego.

4. MODERNIZACJA CZUJNIKÓW

Po zbudowaniu turbiny wystąpiły poważne problemy z niektórymi czujnikami. Były to: czujnik obrotów alternatora, oraz termopary. Wartości ich pomiaru znacząco odbiegały od rzeczywistości (można to było zweryfikować gołym okiem), w związku z czym konieczna była ich modyfikacja. Dodatkowym czynnikiem ograniczającym był czas wykonywania pętli pomiarowej, który nie mógł przekraczać 1 sekundy, ze względu na jakość wizualizacji pomiarów. W pierwotnej wersji pomiary były wykonywane w ok. 850ms. Resztę czasu mikrokontroler „czekał” aż minie pełna sekunda.

4.1. Czujnik obrotów alternatora

Pierwszą modyfikacją układu pomiarowego był demontaż istniejącego czujnika odbiciowego KTIR0711S (Rysunek 6), znajdującego się na ramie aluminiowej przymocowanej do alternatora. Konieczność jego wymiany wynikała z dużej niedokładności pomiaru w miejscach oświetlonych.



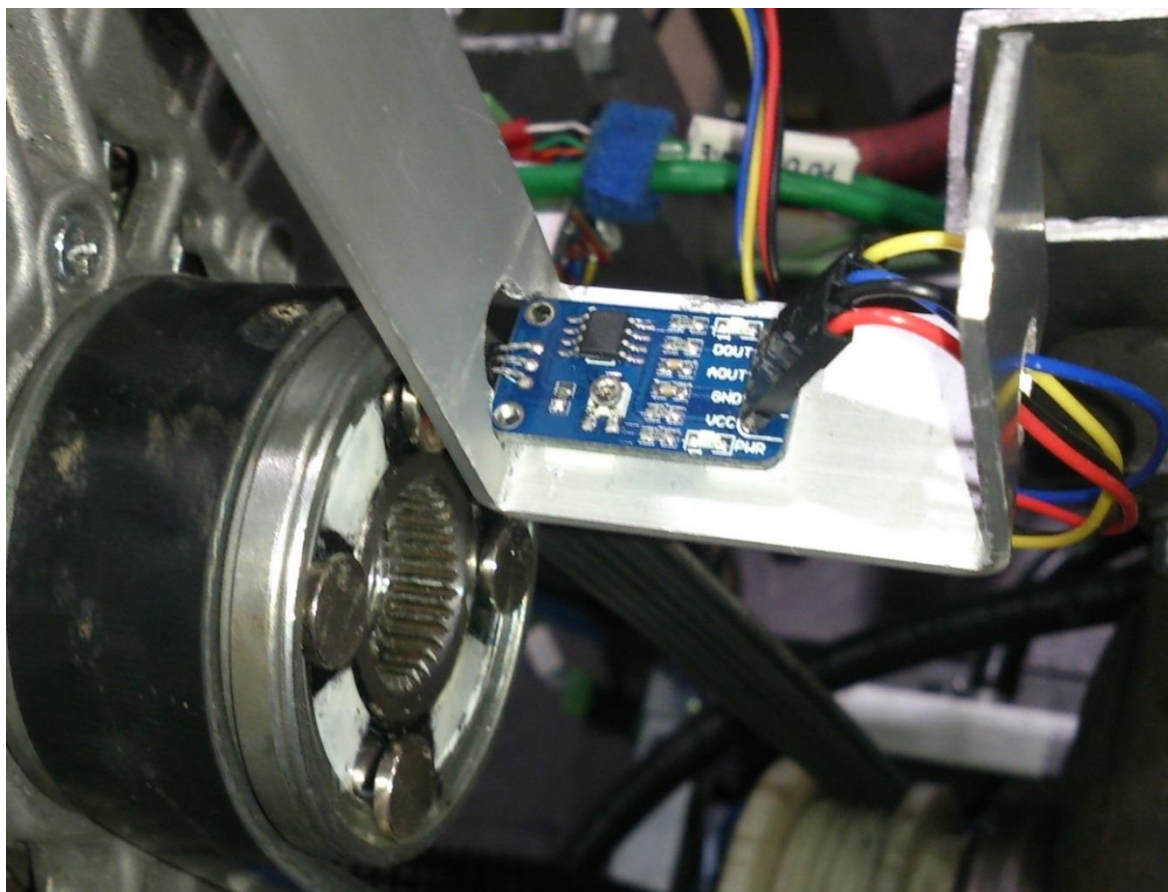
Rysunek 6. Czujnik odbiciowy (źródło: [1])

Następnie na miejsce poprzedniego czujnika został zamontowany Czujnik Halla AH49E - moduł Waveshare, oraz cztery

magnesy neodymowe (Rysunek 7). Pod chipem można zauważyć białe podkładki, są one wykonane ze styropianu i zamocowane przez taśmę dwustronną w celu izolacji modułu od aluminiowej ramy.

Warto wspomnieć, że moduł AH49E może być bezpośrednio podpięty do mikrokontrolera pomiarowego, pod złącze cyfrowe, bez użycia komparatora ze skrzynki sterującej, ponieważ posiada go wbudowanego. Za pomocą potencjometru na chipie, można go wyregulować. Regulacja polega na ustawieniu napięcia referencyjnego dla czujnika.

Ostatecznie chip, został podłączony do mikrokontrolera Arduino poprzez swoje wyjście analogowe, w identyczny sposób co czujnik odbiciowy czyli przez komparator w skrzynce sterującej. A następnie wyregulowany poprzez odpowiedni potencjometr znajdujący się na tym komparatorze.



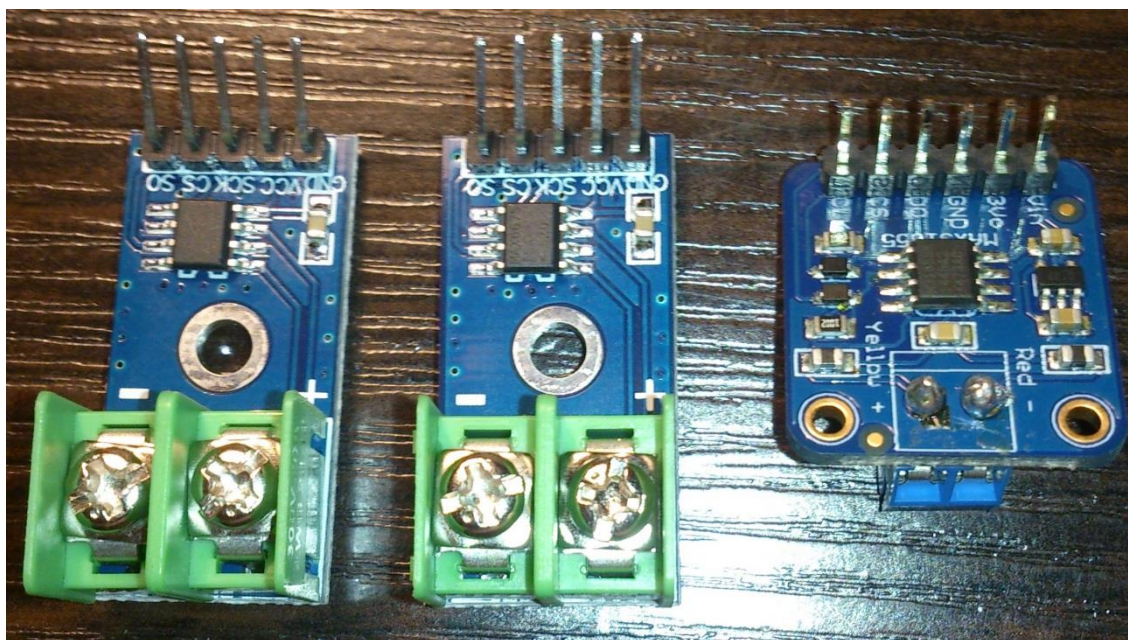
Rysunek 7. Zamontowany czujnik halla

4.2. Termopary

Jednymi z najważniejszych pomiarów w obiegu głównym turbiny gazowej jest pomiar temperatury w: komorze spalania, za pierwszym stopniem turbiny oraz za drugim stopniem turbiny. Problemem w podłączeniu termopar (w tym przypadku typu K) była wartość napięcia wyjściowego z tych termopar, które jest rzędu kilkudziesięciu mV. To uniemożliwiało sensowny pomiar napięcia, ponieważ napięcie referencyjne na płytce Arduino Mega wynosi 5V, co daje przy 10-bitowej dokładności mikrokontrolera (dokładność 4,8mV), czyli błąd pomiaru ponad 100°C.

Problem ten został rozwiązany poprzez zastosowanie trzech modułów do termopar, realizujących pomiar i wysyłających jego wartość w postaci cyfrowej. Użyto dwóch chipów MAX6675 (wymiary: 32x16mm, maksymalna temperatura 1024°C, dokładność 0,25°C), do pomiaru temperatury między pierwszym, a drugim stopniem turbiny, oraz za jej drugim stopniem, na wylocie. Do pomiaru temperatury w komorze spalania został zastosowany moduł MAX31855 (wymiary: 20x20mm, maksymalna temperatura 1372°C, dokładność

0,25°C). Tak duża temperatura oczywiście nie występuje przed samą turbiną. Górna granica technologiczna wynosi 1000°C, w przeciwnym wypadku doszło by do uszkodzenia turbiny, lecz dzięki wcześniej przeprowadzonym pomiarom w [4] wiadome było, że temperatura wskazywana przez termoparę może wynosić nawet 1200°C. Dzieje się tak prawdopodobnie przez nierównomierne spalanie w komorze spalania. Był to powód dla którego niezbędne było użycie czujnika droższego i o wyższej maksymalnej temperaturze pomiaru. Na Rysunek 8 widać użyte moduły, po prawej stronie znajduje się MAX31855.



Rysunek 8. Moduły do termopar

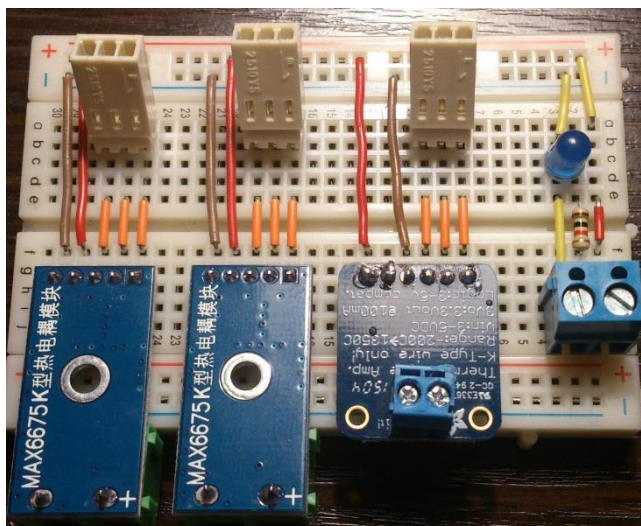
Obydwa moduły są typu 3-wire, czyli 3 złącza służą do odczytu danych. Z punktu widzenia mikrokontrolera nadrzędnego dwa z nich są sygnałami sterującymi, zaś trzeci służy do odbioru danych. Są to złącza o nazwach: CK, CLK, DO. Złącze CK mówi, czy rozpocząć konwersję i dalej przesłać dane. CLK jest to złącze taktowania zegarowego, zaś DO służy do odbioru wartości temperatury przez mikrokontroler. Wartości pomiarów są wysyłane w postaci cyfrowej.

Czas wykonania pomiaru wynosi dla modułu MAX6675 ok. 34ms, zaś dla modułu MAX31855 ok. 68ms. Daje to w sumie 136ms czasu odczytu termopar co w sumie daje czas wykonywania pętli głównej prawie 990ms. Pomiary zostały przeprowadzone przez użycie własnej płytki mikrokontrolera Arduino UNO (Rysunek 10).

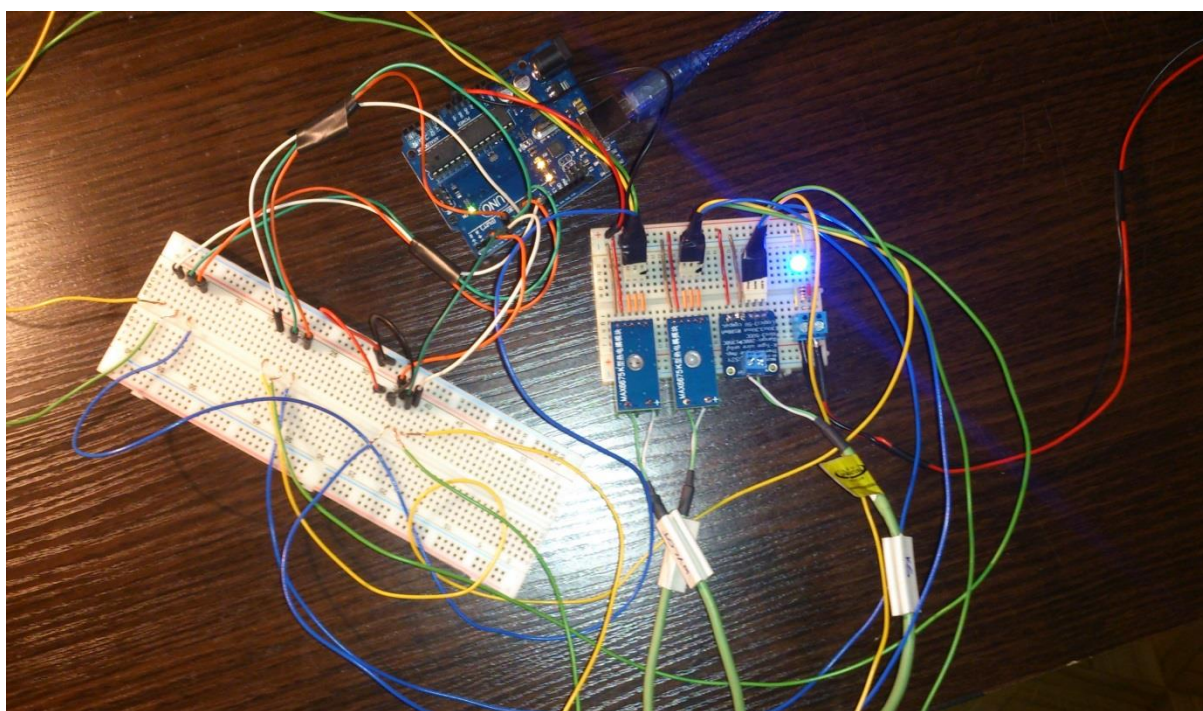
Problemem napotkanym podczas montażu była minimalna ilość wolnej przestrzeni w skrzynce sterującej. Problem ten został rozwiązany następująco. Moduły zostały zamontowane do płytki stykowej, do której zasilanie jest doprowadzone z komparatora (z powodu wolnych złączek z zasilaniem). Zbudowany układ został zamocowany w skrzynce

„do góry nogami”, do jej sufitu. Z lewej strony skrzynki zostały wywiercone trzy otwory 6mm na kable do termopar. Na Rysunek 9 znajduje się płytka ze zmontowanymi modułami. Niebieska dioda służy do sygnalizacji istnienia napięcia.

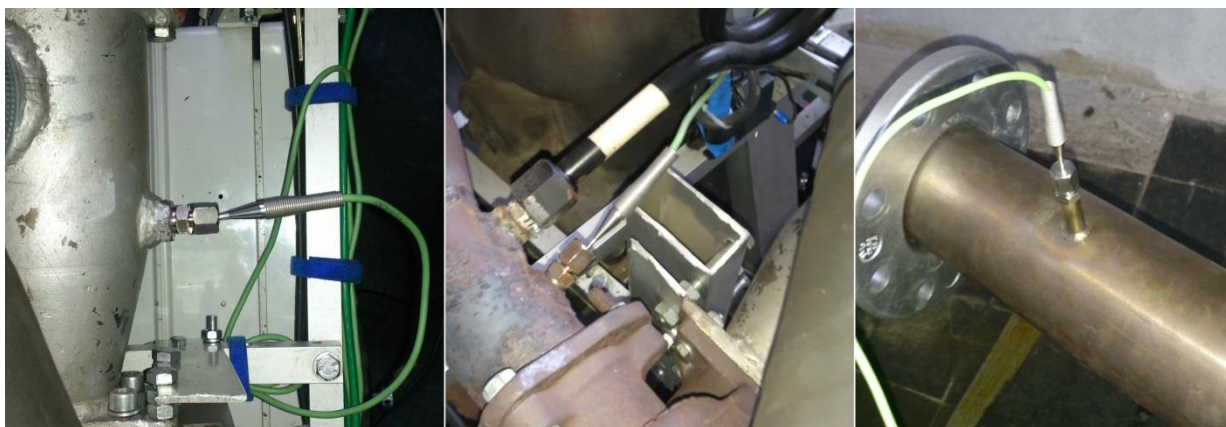
Ostatnim elementem montażu było podłączenie termopar do modułów znajdujących się w skrzynce sterującej, oraz zamocowanie ich w poszczególnych miejscach pomiarowych (Rysunek 11).



Rysunek 9. Płytki stykowa

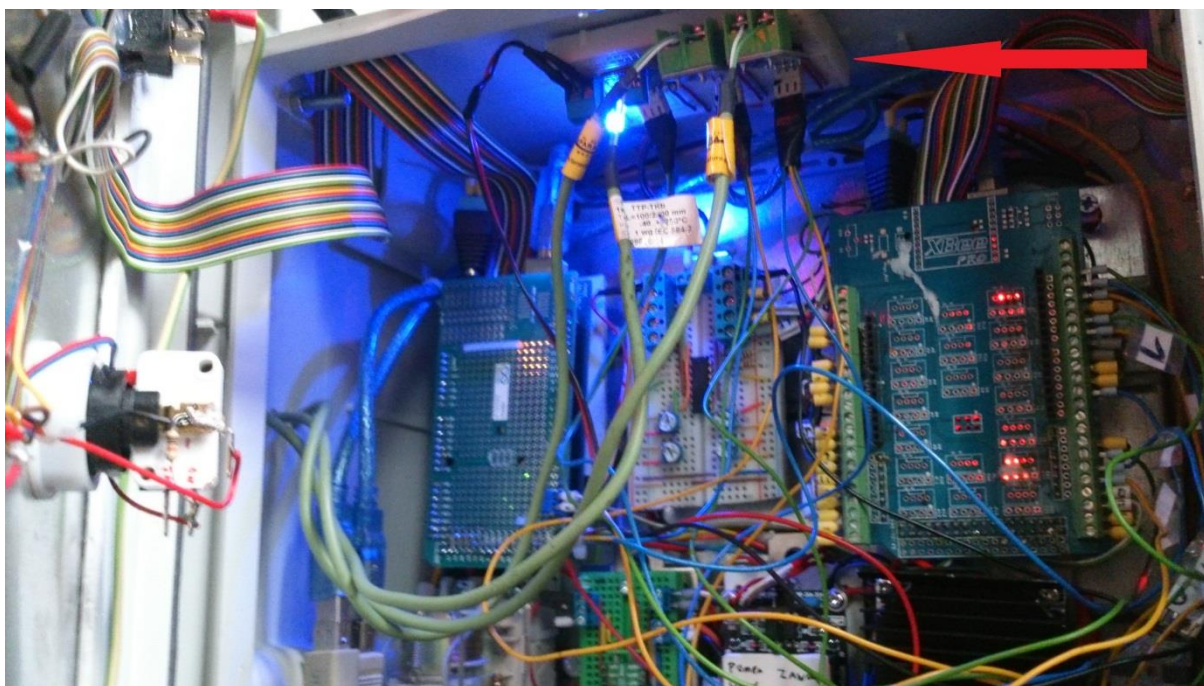


Rysunek 10. Realizacja testu płytki + pomiar czasu wykonywania pomiaru



Rysunek 11. Zainstalowane termopary - od lewej: komora spalania, międzystopniowa i wylotowa

Na Rysunek 12 widać zamontowaną płytkę stykową w szkrzynce sterującej, wraz z modułami i złączami. Płytką została wskazana na rysunku czerwoną strzałką. Kable łączące moduły z mikrokontrolerem pomiarowym zostały oznaczone następująco: żółty – CLK, zielony – CS, niebieski – DO. Dodatkowo na każdy kabel została naklejona kartka do którego modułu termopary należy: KS – komora spalania, 1 – międzystopniowa, 2 – wylotowa.



Rysunek 12. Wnętrze szafy po montażu

5. KOD

Język programowania mikrokontrolera Arduino jest oparty na środowisku Wiring, czyli jest bardzo podobny do języka C/C++. Jest to dużo prostszy język w porównaniu do klasycznych języków programowania mikrokontrolerów. Osoby które opanowały podstawy języka C/C++ nie powinny mieć problemów z opanowaniem nowego języka. Realizacja dodatkowych funkcji, pętli i instrukcji warunkowych niczym się między nimi nie różni. Dzięki tej prostocie Arduino staje się coraz bardziej popularne wśród mikrokontrolerów. Istotną różnicą języka Arduino w porównaniu z C/C++ są funkcję obsługi wejść i wyjść (I/O), oraz portu szeregowego USB. W następnym rozdziale został przedstawiony przykładowy kod w celu pokazania w praktyce obsługi wejść, wyjść, oraz portu szeregowego.

5.1. Przykładowy kod

Na Rysunek 13 znajduje się zrzut ekranu przykładowego programu w języku Arduino. Został on pokazany w celu zapoznania się czytelnika z podstawowymi instrukcjami wejść, wyjść, oraz obsługi portu szeregowego. Bardzo ułatwi to czytanie kodu mikrokontrolerów mikro turbiny gazowej dla osób dopiero poznających możliwości mikrokontrolera Arduino.

Kod działa w następujący sposób. Co około 300ms następuje pomiar z przycisku (zwracana wartość: 0 lub 1) i potencjometru (zwraca wartość z przedziału: 0-1023), oraz komunikacja obustronna mikrokontrolera z komputerem. Wysyłając z komputera odpowiednie liczby rozdzielone dowolnym znakiem, innym niż cyfra, sterujemy diodą led (włącz/wyłącz) oraz jasnością drugiej diody (złącze PWM). Po odczycie danych przychodzących do mikrokontrolera (o ile były wysłane) następuje transmisja danych do komputera, z informacją o stanie przycisku i wskazaniu potencjometru.

W pierwszych 4 liniach występuje dyrektywa „#define”. Definiuje ona łańcuch znaków, który w momencie programowania mikrokontrolera zostaje zamieniony na zdefiniowaną liczbę. W liniach 6-8 występuje deklaracja zmiennych globalnych. Przed funkcją setup() należy deklarować wszystkie zmienne globalne i biblioteki. Trzeba także deklarować funkcje do obsługi większości modułów (chipów) np. BMP180 (parametry otoczenia), czy też moduły termopar.

```

1 #define fadeLed 3
2 #define przycisk 8
3 #define led_pin 12
4 #define sensor A0
5
6 int button_state = 0;
7 int sensor_value = 0;
8 unsigned long previousMillis = 0;
9
10 void setup()
11 {
12     Serial.begin(115200);
13     pinMode(buzzer, OUTPUT);
14     pinMode(przycisk, INPUT);
15     pinMode(led_pin, OUTPUT);
16 }
17
18 void loop()
19 {
20     while (Serial.available() > 0)
21     {
22         int led_state = Serial.parseInt();
23         int fadeValue = Serial.parseInt();
24
25         if (Serial.read() == '\n')
26         {
27             if (led_state == 1)
28             {
29                 digitalWrite(led_pin, HIGH);
30             }
31             else
32             {
33                 digitalWrite(led_pin, LOW);
34             }
35             delay(100);
36             analogWrite(fadeLed, fadeValue);
37         }
38     }
39     Serial.println(analogRead(sensor));
40     Serial.println(digitalRead(przycisk));
41     Serial.print("\n");
42     delay(200);
43 }

```

Rysunek 13. Zrzut ekranu przykładowego kodu dla mikrokontrolera Arduino

operacji innych niż w języku C/C++ nie zostaną opisane pętle, ani instrukcje warunkowe w funkcji specjalnej loop(). W następnym akapicie znajdują się instrukcje obsługi portu szeregowego (ang. Serial port). Więcej na temat komunikacji znajduje się w 26.

W linii 20 występuje instrukcja „Serial.available() > 0”. Instrukcja ta zwraca 1, jeżeli na buforze portu szeregowego znajdują się jakiekolwiek dane do odbioru, a 0 gdy ich nie ma. W linii 22 i 23 znajduje się instrukcja „Serial.parseInt()” odczytująca pierwszą liczbę

W linii 10 rozpoczyna się funkcja setup(). Od niej zaczyna się realizacja programu mikrokontrolera i jest wykonywana tylko jeden raz. Jeżeli w pętli głównej jest wykorzystywana komunikacja przez port szeregowy należy ją zadeklarować (linia 12). Więcej na ten temat komunikacji w 26. W funkcji setup() należy też zadeklarować złącza, a dokładniej czy będą one używane jako wejścia lub wyjścia. W najnowszych wersjach oprogramowania wszystkie złącza domyślnie ustawione są jako wejścia. Złącz analogowych nie trzeba deklarować, ponieważ domyślnie są one złączami wejścia. W przypadku wykorzystywania złącza analogowego jako cyfrowego, należy go zadeklarować, może być wykorzystywany jako wyjście. Wtedy oznaczenie zmienionego złącza jest zależne od rodzaju płytki mikrokontrolera, np. dla Arduino UNO A0 to 14, A1 to 15 i analogicznie następne.

W linii 18 rozpoczyna się druga funkcja specjalna loop(). Jest to nieskończona pętla realizowana po funkcji setup(), wykonywana do resetu, utraty zasilania lub awarii. W celu pokazania

całkowitą z bufora. W przypadku odczytu innego znaku niż cyfra omija go (jeżeli nie znalazło jeszcze liczby), lub przerywa odczyt liczby (jeżeli już znalazło pewien ciąg cyfr). W linii 25 występuje instrukcja „Serial.read()”. Odczytuje ona jeden bajt dostępny na buforze danych, czyli jeden znak. W liniach 29 i 33 występuje instrukcja „digitalWrite(nr_złącza, wartość_logiczna)”. Ustawia ona napięcie na danym złączu na 0V lub 5V. W linii 35 i 42 występuje instrukcja „delay(wartość)”. Jest to instrukcja „uśpienia” mikrokontrolera, w której nie wykonuje on żadnych operacji. Wartość w nawiasie to czas uśpienia podawany w milisekundach. W linii 36 jest instrukcja „analogWrite(złącze, wartośćPWM)”. Realizuje ona modulację omówioną w 11. Warunkiem dla instrukcji jest to, że dane złącze jest typu PWM, oraz wartośćPWM musi być w przedziale 0-255. W liniach 39 i 40 znajdują się instrukcje „analogRead(złącze)” oraz „digitalRead(złącze)”. Służą one do odczytu napięcia na poszczególnych złączach. „digitalRead zwraca wartości 0 lub 1, „analogRead” zaś wartość z przedziału 0-1023 odpowiadający napięciu z zakresu 0-5V.

5.2. Opis zmian w kodzie mikrokontrolera pomiarowego

Większość kodu została napisana przez inż. Jana Pleszyńskiego. Dokonana została jego modernizacja. Głównie było to usunięcie zbędnych fragmentów kodu, oraz dodanie funkcji realizujących odczyt termopar.

Najważniejszym celem modernizacji kodu było umożliwienie dodania pomiaru z termopar, bez zmieniania czasu transmisji danych (1 sekundy) przez port szeregowy USB. Było to bardzo ważne ze względu na jakość wizualizacji danych. Co więcej zmniejszanie czasu wykonywania pomiarów w pętli głównej, w kodzie, umożliwia w przyszłości dodanie nowych pomiarów bez zmieniania czasu transmisji danych przez port szeregowy. Opis kodu dotyczącego pomiaru z termopar znajduje się w 35.

Z wcześniejszych rozważań na temat czasu realizacji pętli mikrokontrolera pomiaru po dodaniu modułów termopar (16), wynika, że czas wykonywania wszystkich pomiarów i komunikacji wynosi prawie 990 ms. Jest to mniej niż 1 sekunda, ale czas wykonywania pętli ten nie jest jednak sztywno określony, ponieważ komunikacja nie odbywa się w sposób ciągły. To znaczy, że mikrokontroler sterujący próbuje skomunikować się z mikrokontrolerem pomiarowym co jakiś czas. Sterownik robi to po wykonaniu określonych przez programistę funkcjach, które mogą zająć kilka, a nawet kilkadziesiąt milisekund. Oczekiwanie na sygnał od mikrokontrolera sterującego może spowalniać czas wykonywania pętli głównej na tyle, że przekroczy ona czas wykonywania 1 sekundy. Z tego powodu

konieczne było usunięcie wszystkich zbędnych linii kodu, aby zyskać kilkanaście/kilkadziesiąt milisekund zapasu.

Największymi usuniętymi elementami było wykrywanie i usuwanie błędów (debugowanie), oraz przesył danych z mikrokontrolera sterującego do pomiarowego. Debugowanie zostało usunięte z powodu braku detekcji błędów zarówno pomiarowych, jak i komunikacyjnych. Komunikacja natomiast została usunięta z tego powodu, że dane odczytane przez mikrokontroler pomiarowy nie były nigdzie wykorzystywane. Były to informacje na temat stanu pompy, zapłonu, zaworu odcinającego i przepustnicy (czy włączone, czy wyłączone), oraz informacje na temat stanu otwarcia zaworu gazu (propanu), oraz mocy silnika rozruchowego.

Dodatkową godną uwagi korektą była zmiana paczki danych wysyłanych przez mikrokontroler pomiarowego do sterującego. Przed zmianą dane dla mikrokontrolera sterującego wysyłane były w 5 paczkach (ponieważ wysyłanych jest 5 pomiarów). Obecnie dane przed wysłaniem do sterownika są zbierane, a następnie wysyłane w jednej paczce danych. Zabieg ten był ważny z punktu widzenia bezpieczeństwa pracy. Dzięki niemu znacząco zmniejszyło się prawdopodobieństwo wystąpienia błędu odczytu wartości przez mikrokontroler sterujący. Dokładniej jeżeli odbiór danych przez mikrokontroler sterujący wystąpił by minimalnie wcześniej niż wysyłanie danych z mikrokontrolera pomiarowego (różnica rzędu kilku mikrosekund), to przy wysokich wartościach (długich łańcuchach danych) mógł nastąpić zbyt wczesny odbiór wszystkich danych przez sterownik. Skutkowało to mogło by niepełnym odczytem danych.

5.3. Kod mikrokontrolera pomiarowego

Z powodu, że kod ma ponad 300 linii kodu, uproszczony został jego opis do pętli głównej i jej omówienia. W kodzie (szkic w programie Arduino) numery linii mogą trochę różnić się od przedstawionych w tym podrozdziale. Spowodowane jest to ciągłymi kosmetycznymi poprawkami, oraz dodawaniem/usuwaniem komentarzy. Dokładny opis funkcji realizujących pomiar z termopar znajduje się w 35.

Na Rysunek 14 znajduje się fragment kodu realizowanego przez mikrokontroler pomiarowy. Fragment ten to funkcje specjalne `setup()` i `loop()`, omówione w 22. W funkcji `setup()` znajduje się deklaracja komunikacji z komputerem przez port szeregowy – „`Serial.begin(prędkość_transmisji)`”, oraz deklaracja komunikacji z Arduino pomiarowym – „`Serial1.begin(prędkość_transmisji)`”. Więcej informacji na ten temat znajduje się w 26. W

funkcji `setup()` w linii 127 znajduje się deklaracja czujnika BMP180, mierzącego ciśnienie i temperaturę otoczenia.

```
123 void setup()
124 {
125     Serial.begin(115200);
126     Serial1.begin(115200);
127     BMP180.begin();
128 }
129
130 void loop()
131 {
132     cycle_start = millis();
133     start_DS18B20_conversion();
134     read_BMP180();
135     read_AS();
136     convert_AS();
137     FS_timeout = conversion_time - (millis() - cycle_start);
138     read_FS_freqs();
139     read_DS18B20();
140     thermocouples();
141     communicate_with_control();
142     vals_str += ("\n");
143     do
144     {
145         Serial.print(vals_str); vals_str = "";
146     }
147     while (millis() - cycle_start < cycle_time - 1);
148     loop_counter++;
149 }
```

Rysunek 14. Zrzut ekranu głównej części kodu mikrokontrolera pomiarowego

Pętla `loop()` rozpoczyna się zmierzeniem czasu wewnętrznego mikrokontrolera instrukcją „`millis()`”, oraz zapisu tej wartości. Jest to czas mierzony w milisekundach od ostatniego restartu układu Arduino. Następnie w linii 133 znajduje się funkcja informująca cyfrowe czujniki temperatury, o nazwie DS18B20, aby rozpoczęły konwersję temperatury, która trwa 700ms. Konwersja odbywa się wewnątrz czujników, więc czas konwersji nie wpływa na czas wykonywania reszty kodu. W linii 134 znajduje się funkcja odczytująca czujnik parametrów otoczenia. Następnie w linii 135 następuje odczyt napięcia zwracanego przez wszystkie czujniki analogowe. Dokładniejszy opis złącz oraz typów czujników do nich podłączonych znajduje się w 28. W linii 136 jest funkcja konwertująca uzyskane wcześniej wartości napięć na odpowiednie jednostki. Następnie w linii 137 następuje pomiar czasu pozostałego do rozpoczęcia odbioru danych z czujników DS18B20. Czas ten definiuje czas do realizacji odczytu czujników częstotliwości, których funkcja odczytu znajduje się w linii 138. Po 700ms od rozpoczęcia konwersji czujników DS18B20, następuje ich odczyt (funkcja w

linii 139). Następnie zostaje realizowana funkcja odczytu termopar (linia 140). Ten fragment kodu zostanie dokładnie omówiony w 35. W następnej linii znajduje się funkcja realizująca komunikację z mikrokontrolerem sterującym.

W linii 142 znajduje się instrukcja dodająca do łańcucha znaków „vals_str” znaku końca linii – „\n”. Łańcuch jest zbierany przez cały okres działania pętli i zawiera wartości wszystkich pomiarów. Opis formy przedstawienia tych pomiarów znajduje się w 28. W liniach 143-147 znajduje się pętla realizująca wysłanie łańcucha znaków zawierającego wartości pomiarów. Po wysłaniu danych, zmienna przechowująca łańcuch znaków zostaje wyczyszczona. Mikrokontroler wysyła później puste paczki danych, do momentu gdy czas wykonywania pętli nie będzie większy niż 999ms. W ostatniej linii pętli głównej (148) znajduje się zmienna licząca ilość wykonanych pętli.

6. KOMUNIKACJA Z SYSTEMEM SCADA

Każdy układ Arduino posiada przynajmniej jeden port szeregowy (ang. serial port), wersja mega posiada ich aż cztery. Umożliwia on proste przesyłanie danych do i z mikrokontrolera. Z pozycji programu ArduinoIDE możliwe jest uruchomienie terminala, za pomocą którego można odczytać dane wysyłane przez mikrokontroler, jak również wysłać dane do mikrokontrolera. Komunikacja może występować pomiędzy mikrokontrolerem arduino i komputerem, jak również pomiędzy dwoma mikrokontrolerami Arduino.

6.1. Komunikacja przez port szeregowy USB

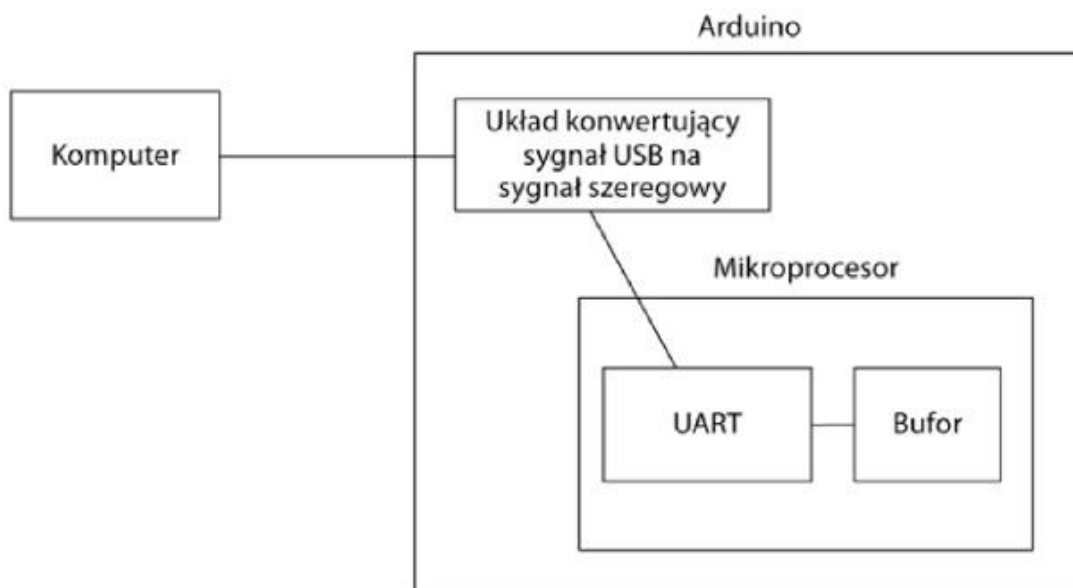
Aby używać poszczególnych portów szeregowych należy je wcześniej zadeklarować w funkcji specjalnej `setup()` poprzez komendę „`Serial.begin(prędkość_transmisji, sposób_wysyłania_danych)`”. Prędkość transmisji (ang. baud rate) podawana jest w bitach na sekundę. Jej typowe wartości to: 300, 600, 1200, 2400, 4800, 9600, 14400, 19200, 28800, 38400, 57600, lub 115200. Na stronie producenta maksymalna podana standardowa prędkość to 115200, zaś w najnowszym oprogramowaniu dopuszczalna prędkość wynosi 250000. Możliwe jest również zdefiniowanie innej nietypowej prędkości transmisji (poprzez podanie jej wartości), ale producent nie gwarantuje udanej transmisji danych.

Sposób wysyłania danych mówi nam jak wygląda wysyłanie danych w paczce. Paczka danych składa się od 5 do 8 bitów, bitu kontrolnego oraz jednego lub dwóch bitów stop. Bit kontrolny obliczany jest przez kontrolę parzystości – oznaczenie E (eng. Even), lub nieparzystości – oznaczenie O (eng. Odd), czy też bez kontroli – oznaczenie N (non). Jeżeli nie podany zostanie sposób wysyłania danych domyślnie zostanie wybrany sposób *SERIAL_8N1*, czyli 8 bitów (bajt) danych, bez kontroli parzystości i 1 bit stop.

W mikrokontrolerach w turbinie gazowej komunikacja z komputerem oraz pomiędzy sobą jest realizowana standardowym sposobem przesyłu danych, oraz z prędkością 115200 bitów na sekundę. Instrukcje korzystania z portu szeregowego zostały przedstawione w przykładzie kodu (5.2).

Odbiór danych przez port szeregowy to nie tylko przesył danych z innego urządzenia, ale także konwersja sygnału USB na sygnał możliwy do odczytu przez mikrokontroler. Jest to także bufor danych, który przechowuje otrzymane dane, do momentu ich odczytu przez mikroprocesor. Dzięki temu nie jest konieczna synchronizacja dwóch mikrokontrolerów. Należy jedynie na tyle często odczytywać bufor, by go nie „zapchać”, ponieważ ma on

określoną pojemność. W układzie arduino pojemność ta wynosi 128 bajtów. W chwili odczytu danych z bufora są z niego usuwane. Na Rysunek 15 został przedstawiony schemat blokowy transferu informacji z komputera do mikrokontrolera Arduino.



Rysunek 15. Schemat blokowy odbioru danych przez mikrokontroler Arduino
(źródło: [5])

6.2. Mapowanie

Najważniejszym elementem komunikacji, po obu stronach (mikrokontrolera i komputera) było mapowanie czyli stworzenie pewnej ogólnej nomenklatury pomiarów. Została ona stworzona w dwóch wersjach. Pierwsza z nich to wersja z punktu widzenia programisty Arduino, zaś druga z punktu widzenia programisty systemu SCADA.

Każdy punkt pomiarowy otrzymał unikalny numer (ID), który składa się z trzech cyfr. W Tabeli 1 cyfry te zostały oznaczone jako X, Y, Z. Dwie pierwsze odpowiadają za miejsce, zaś ostatnia za typ pomiaru. Tabela 1 to legenda oznaczeń punktów pomiarowych.

Tabela 1. Legenda nomenklatury pomiarów

| XYZ: [wartość] - forma transmisji | | | | | | | | |
|-----------------------------------|--------------------------|----------------------|------------------|---------------------|-----------------------|--------------------|---------|-------------|
| X (który obieg) | | Y (miejsce) | | | | | Z (co?) | |
| | | dla X = 0 (spal/pow) | dla X = 1 (olej) | dla X = 2 (woda KN) | dla X = 3 (mechanika) | | | |
| 0 | obieg główny turbiny | 0 | otoczenie | przed WC | przed KN | wał turbosprężarki | 0 | temperatura |
| 1 | olej | 1 | przed sprężarką | za WC | w KN | wał alternatora | 1 | ciśnienie |
| 2 | woda (komora natryskowa) | 2 | za sprężarką | za pompą | za KN (zbiornik) | | 2 | przepływ |
| 3 | mechaniczne | 3 | gaz (dopływ) | | | | 3 | obroty |
| | | 4 | przed turbo (TS) | | | | 4 | napięcie |
| | | 5 | za turbo (TS) | | | | 5 | Prąd |
| | | 6 | za turbiną (TC) | | | | 6 | poziom wody |
| | | 7 | generator | | | | 7 | |
| | | 8 | za KN | | | | 8 | |
| | | 9 | | | | | 9 | |

Została również ustalona forma przesyłania poszczególnych danych, czyli informacji o punkcie pomiarowym, oraz odczytanej i przekonwertowanej wartości z danego czujnika. Forma ta jest następująca „XYZ:wartość_pomiaru”, gdzie XYZ to wcześniej przedstawione ID punktu. Dodatkowo na końcu dodawany jest znak końca linii „\n”.

W Tabeli 2 znajduje się opis połączeń określonych urządzeń pomiarowych do poszczególnych złącz mikrokontrolera.

We wszystkich tabelach w tym podrozdziale użyto następujących kolorów czcionek w celu sygnalizacji nietypowości złącza lub jego niepełnego wyprowadzenia. Kolorem czerwonym oznaczono złącza używane we wcześniejszych wersjach automatyki, obecnie zostało po nim tylko wyprowadzenie na zewnątrz skrzynki. Kolorem żółtym oznaczono złącze wyprowadzone ze skrzynki, do punktu pomiarowego, lecz na chwilę obecną brak jest urządzenia pomiarowego. Kolorem zielonym oznaczono złącza wyprowadzone ze skrzynki, do punktu pomiarowego, jednakże brakuje dokładnych informacji o pomiarze.

Do złącza cyfrowego 10 jest podpięty kabel, lecz brakuje informacji na temat jego wyprowadzenia.

Tabela 2. Nomenklatura pomiarów dla programisty Arduino

| typ pinu | nr pinu | ID | Opis | urządzenie pomiarowe |
|----------|---------|-----|---|----------------------|
| analog | 0 | 031 | ciśnienie gazu (propan) | Wika A-10 |
| analog | 1 | 032 | przepływ gazu (propan) | Omron-50A |
| analog | 2 | 121 | ciśnienie za pompą oleju | Wika A-10 |
| analog | 3 | 021 | ciśnienie za sprężarką | Wika A-10 |
| analog | 4 | - | - | - |
| analog | 5 | - | - | - |
| analog | 6 | 012 | przepływ powietrza do sprężarki | BOSH hfm5 |
| analog | 7 | 010 | temperatura przed sprężarką | BOSH hfm5 |
| analog | 8 | 051 | ciśnienie za TS / przed TC | Wika A-10 |
| analog | 9 | 201 | ciśnienie przed KN | Wika A-10 |
| analog | 10 | 075 | prąd z generatora | Pololu ACS709 |
| analog | 11 | 074 | napięcie na generatorze | dzielnik napięcia |
| analog | 12 | z | | |
| analog | 13 | z | pierwotnie miały być używane jako wejście do termopar | brak |
| analog | 14 | z | | |
| analog | 15 | z | | |

| | | | | |
|---------|----|---------|--|------------------------------|
| digital | 0 | Serial | możliwość komunikacji z komputerem (przez USB) | - |
| digital | 1 | | | |
| digital | 2 | - | - | - |
| digital | 3 | 050 | Termopara międzystopniowa - pin do odbioru danych (DO) | Moduł MAX6675 + termopara K |
| digital | 4 | 122 | pierwotnie mierzył przepływ oleju | Adafruit 833 |
| digital | 5 | 202 | przepływ przed KN | ??? |
| digital | 6 | 313 | obroty wału alternatora | czujnik halla |
| digital | 7 | 303 | obroty wału turbosprężarki | czujnik optyczny |
| digital | 8 | 050 | Termopara międzystopniowa - piny kolejno CLK, CS | termopara K |
| digital | 9 | | | |
| digital | 10 | ??? | ??? | ??? |
| digital | 11 | 040 | Pomiar temperatury w komorze spalania piny kolejno CLK, DO, CS | Moduł MAX31855 + termopara K |
| digital | 12 | | | |
| digital | 13 | | | |
| digital | 14 | wiele | temperatury do 125°C | DS18B20 |
| digital | 15 | 060 | Pomiar temperatury za drugim stopniem turbiny – piny kolejno CS, DO, CLK | Moduł MAX6675 + termopara K |
| digital | 16 | | | |
| digital | 17 | | | |
| digital | 18 | Serial1 | Komunikacja z arduino sterującym | - |
| digital | 19 | | | |
| digital | 20 | 000 | parametry otoczenia (temperatura i ciśnienie) | BMP180 |
| digital | 21 | 001 | | |

Pozostałe złącza o numerach 22 do 54 są wolne. W przypadku chęci zagospodarowania tych wolnych złącz należy wlutować przewody w odpowiednie miejsca na płytce Arduino, ponieważ nie posiadają one wejść dla tulejek, ani złącz skręcanych.

Następne tabele o numerach: Tabela 3, Tabela 4, Tabela 5 i Tabela 6 przedstawiają mapowanie z punktu widzenia programisty systemu SCADA, kolejno dla: obiegu głównego, obiegu olejowego, komory natryskowej i mechaniki.

Tabela 3. Nomenklatura pomiarów dla programisty systemu SCADA, część I

| OBIEG GŁÓWNY | | | | |
|--------------|-----------|----------|---------|----------------------------------|
| ID | jednostka | typ pinu | nr pinu | opis |
| 000 | °C | digital | 20/21 | temperatura otoczenia |
| 001 | hPa | digital | 20/21 | ciśnienie otoczenia |
| 010 | °C | analog | 7 | temperatura przed sprężarką |
| 012 | kg/h | analog | 6 | przepływ powietrza do sprężarki |
| 020 | °C | digital | 14 | temperatura za sprężarką |
| 021 | bar | analog | 3 | ciśnienie za sprężarką |
| 030 | °C | digital | 14 | temperatura gazu (propan) |
| 031 | bar | analog | 0 | ciśnienie gazu (propan) |
| 032 | l/min | analog | 1 | przepływ gazu (propan) |
| 040 | °C | digital | 11-13 | temperatura KS |
| 050 | °C | digital | 3,8,9 | temperatura za TS / przed TC |
| 051 | bar | analog | 8 | ciśnienie za TS / przed TC |
| 060 | °C | digital | 15-17 | temperatura za TC |
| 074 | V | analog | 11 | napięcie na generatorze |
| 075 | A | analog | 10 | prąd z generatora |
| 080 | °C | digital | 14 | temperatura za komorą natryskową |

Tabela 4. Nomenklatura pomiarów dla programisty systemu SCADA, część II

| OBIEG OLEJOWY | | | | |
|---------------|-----------|----------|---------|----------------------|
| ID | jednostka | typ pinu | nr pinu | opis |
| 100 | °C | digital | 14 | temperatura przed WC |
| 110 | °C | digital | 14 | temperatura za WC |
| 121 | bar | analog | 2 | ciśnienie za pompą |
| 122 | l/min | digital | 4 | przepływ oleju |

Tabela 5. Nomenklatura pomiarów dla programisty systemu SCADA, część III

| KOMORA NATRYSKOWA | | | | |
|-------------------|-----------|----------|---------|------------------------------|
| ID | jednostka | typ pinu | nr pinu | opis |
| 200 | °C | digital | 14 | temperatura przed KN |
| 201 | bar | analog | 9 | ciśnienie przed KN |
| 202 | b/d | digital | 5 | przepływ przed KN |
| 220 | °C | digital | 14 | temperatura za KN (zbiornik) |

Tabela 6. Nomenklatura pomiarów dla programisty systemu SCADA, część IV

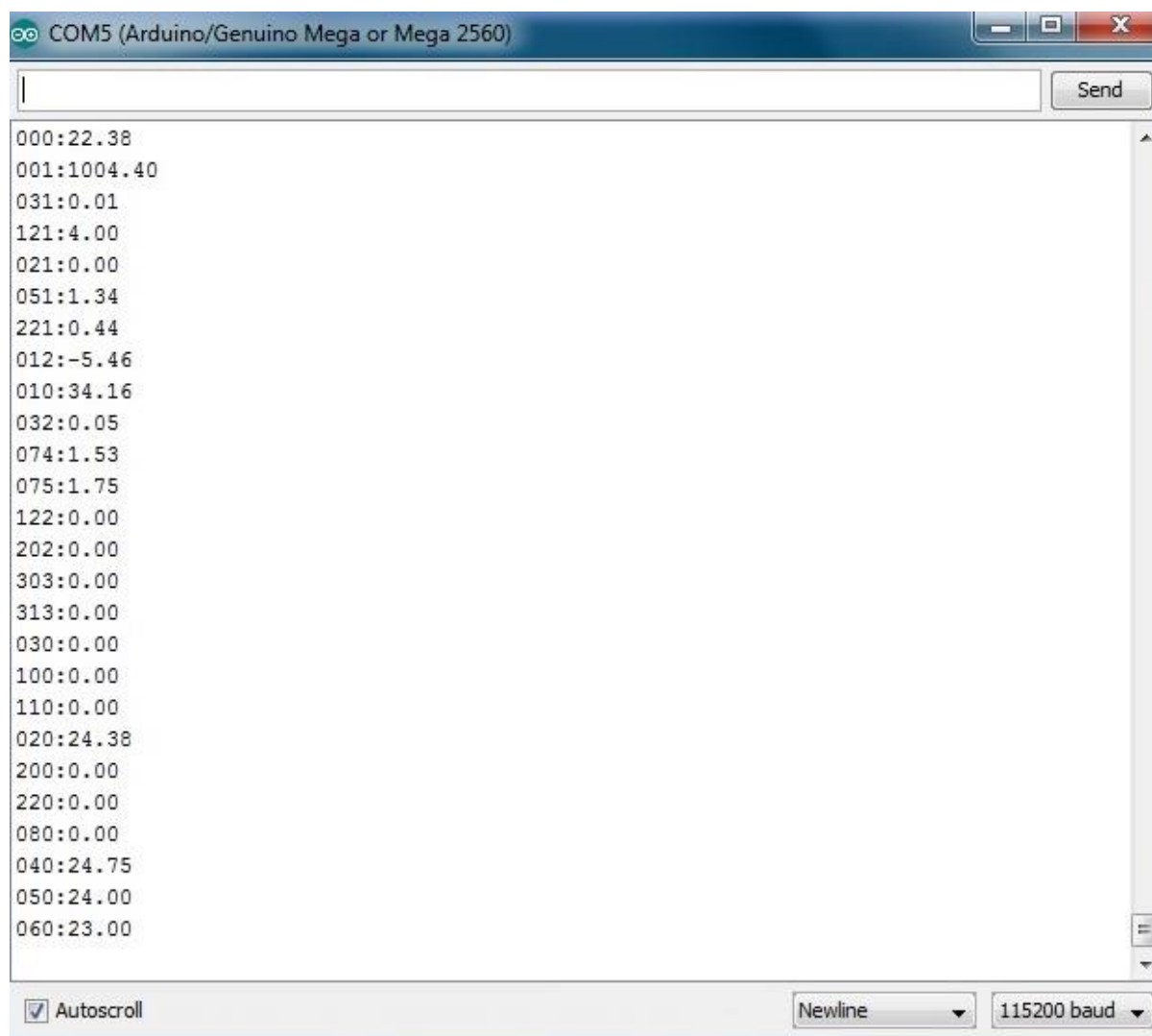
| MECHANIKA | | | | |
|-----------|-----------|----------|---------|----------------------------|
| ID | jednostka | typ pinu | nr pinu | opis |
| 303 | Hz | digital | 7 | obroty wału turbosprężarki |
| 313 | obr/min | digital | 6 | obroty wału alternatora |

6.3. Zmiana systemu SCADA

Zmiana systemu SCADA jest bardzo prosta w porównaniu ze stworzeniem takiego systemu. Należy wiedzieć jak wysyłane są dane przez mikrokontroler Arduino, oraz znać nazwę portu USB połączonego z danymi mikrokontrolerem.

Wiedza na temat wysyłania danych składa się z dwóch elementów: jest to rodzaj transferu (prędkość i sposób – 26), oraz forma wysyłania danych (powyższa nomenklatura). W przypadku rodzaju transferu najczęściej manipulowana jest prędkość transmisji, zaś sposób jest standardowy, czyli jest 8 bitowy, bez kontroli parzystości, z 1 bitem stop (*SERIAL_8N1*). Jest tak, ponieważ jest to standardowy sposób transmisji dla znacznej większości środowisk programistycznych. Natomiast dane pomiarowe, są wysyłane według nomenklatury omówionej w poprzednim podrozdziale. Jest tych pomiarów 26. Między każdym pomiarem jest znak nowej linii „\n”. Na końcu paczki danych z pomiarami jest dodatkowy znak nowej linii w celu zasygnalizowania końca paczki. Na Rysunek 16 znajduje się zrzut ekranu z programu *ArduinoIDE*, który ilustruje dane przekazywane z mikrokontrolera pomiarowego i

odczytywane przez komputer. Na rysunku wyświetlona jest cała paczka omówionych wcześniej danych.



Rysunek 16. Zrzut ekranu serial monitora ArduinoIDE, po podłączeniu do Arduino pomiarowego mikro turbiny gazowej

Znając te dane możemy stworzyć dla tego układu nowy system SCADA, w dowolnym środowisku programistycznym. System może pobierać dane bezpośrednio z portu szeregowego, lub można napisać skrypt odczytujący dane od mikrokontrolera, konwertujący je i przekazujący dalej do systemu SCADA. Ten drugi sposób został zrealizowany przez Krzysztofa Setlaka, więcej na ten temat w [2]. Skrypt odczytujący dane został napisany przez niego w środowisku pythonowym.

7. INSTRUKCJA DODAWANIA NOWYCH POMIARÓW

Obecnie dodawanie nowych pomiarów wiąże się ze zmianą czasu wykonywania pętli głównej kodu. Jest to problematyczne ze względu na jakość odczytywanych pomiarów. Wyjątkiem jest prosty odczyt ze złącza analogowego, oraz czujnik temperatury DS18B20. Z tego powodu w tym rozdziale znajduje się instrukcja dodania pomiaru temperatury z czujnika DS18B20. W drugim podrozdziale znajduje się instrukcja dodawania nowych termopar. Skupia się ona na samym kodzie.

W chwili obecnej poważnym problemem jest dodanie nowego pomiaru wykonywanego z prędkością większą niż kilka milisekund, jakim jest np. pomiar z termopar poprzez moduły MAX6675 czy MAX31855. Powodem tego problemu jest zmniejszenie częstotliwości przesyłu danych z mikrokontrolera pomiarowego. Wiąże się to nie tylko ze spadkiem jakości pomiarów w systemie SCADA, ale również spowolnieniem reakcji mikrokontrolera sterującego, co skutkuje spadkiem poziomu bezpieczeństwa. Z powyższych powodów zostanie w podrozdziale trzecim omówiony inny sposób dodawania pomiarów. Dokładniej przeniesienia części z nich do podrzędnego mikrokontrolera, który będzie komunikował się ze swoim nadrzędnym kontrolerem przez port szeregowy. Opcja ta była rozważana przy montażu modułów termopar. Dzięki redukcji kodu (22) problem został usunięty.

7.1. Czujnik temperatury DS18B20

Komunikacja pomiędzy mikrokontrolerem, a czujnikiem wykorzystuje tylko bibliotekę „OneWire”, służy ona dla mikrokontrolera do komunikacji ze wszystkimi czujnikami za pomocą jednego złącza cyfrowego. Obecnie używa się najczęściej także bibliotekę „DallasTemperature”, ponieważ bardzo upraszcza ona kod i nie wymaga wcześniejszego sprawdzenia adresu czujnika.

Aby dodać pomiar z czujnika DS18B20, pierwszą rzeczą jaką należy wykonać to pobranie unikalnego adresu nowego czujnika. Można to zrobić za pomocą dowolnej płytki Arduino i wcześniej wspomnianej biblioteki „DallasTemperature”. Prosty instruktarz jak jej używać znajduje pod linkiem: <https://www.youtube.com/watch?v=fa6LYTZcv2s>. Następnym etapem jest modyfikacji deklaracji czujników. Na Rysunek 17 znajduje się zrzut ekranu

fragmentu kodu mikrokontrolera pomiarowego. Ten fragment kodu dotyczy czujników DS18B20. Jest to jedyny element kodu, który należy edytować, aby dodać nowy czujnik.

```
79 #define number_of_DS18B20 7 // ilosc czujnikow
80 byte DS18B20_pin = 14; // zlacze
81 OneWire ds(DS18B20_pin); // inicjalizacja magistrali OneWire obsługującej czujniki temp ds18b20
82
83 byte DS18B20_ROMS[number_of_DS18B20 * 8] =
84     {0x28, 0xFF, 0x47, 0x7, 0x11, 0x14, 0x0, 0x40, // Gaz przed KS
85     0x28, 0xFF, 0xB1, 0x39, 0x10, 0x14, 0x0, 0x8C, // Olej przed WC
86     0x28, 0xFF, 0xC4, 0xC, 0x11, 0x14, 0x0, 0x51, // Olej za WC
87     0x28, 0xFF, 0xB4, 0x11, 0x11, 0x14, 0x0, 0x99, // Powietrze za sprężarka
88     0x28, 0xFF, 0xC0, 0x33, 0x10, 0x14, 0x0, 0x37, // Woda KN
89     0x28, 0xFF, 0x4C, 0x7, 0x11, 0x14, 0x0, 0x30, // Woda zbiornik
90     0x28, 0xFF, 0xC0, 0x36, 0x11, 0x14, 0x0, 0x1D,}; // Spaliny za KN
91
92 String DS18B20_places[] = {"03", "10", "11", "02", "20", "22", "08"}; // w tym miejscu znajdują się adres miejsca
93
94 float DS18B20_temps[number_of_DS18B20];
```

Rysunek 17. Zrzut ekranu fragmentu kodu mikrokontrolera pomiarowego, dotyczącego czujnika DS18B20

Pierwszą czynnością jest zmiana ilości odczytywanych czujników w linii 79. W następnej linii znajduje się deklaracja złącza odczytującego czujniki. W linii 81 znajduje się inicjalizacja magistrali OneWire obsługującej czujniki DS18B20. Następnie w liniach 83-90 znajduje się tablica zawierająca adresy używanych czujników. Należy tu wprowadzić na końcu tablicy adres nowego czujnika. Ostatnim elementem modyfikacji kodu jest dodanie do tablicy, znajdującej się w linii 92, adresu nowego pomiaru. Trzeba go nadać według nomenklatury znajdującej się w 28.

W pozostałych elementach kodu odpowiedzialnych za pomiar, funkcje same dostosowują się do zwiększonej liczby czujników. Czas konwersji temperatury na sygnał możliwy do odczytu przez mikrokontroler wynosi 700ms i nie zależy od ilości czujników.

7.2. Termopara

W tym podrozdziale zostanie dokładnie przedstawiona funkcja „thermocouples()” wykonująca pomiary z termopar typu K za pomocą modułów MAX6675 i MAX31855. Instrukcja dotyczy tylko kodu programu mikrokontrolera. Omówiona zostanie obsługa wyżej wymienionych modułów. Obsługa tych chipów jest bardzo podobna z punktu widzenia osoby nie zagłębiającej się w wykorzystywane biblioteki. Dodatkową różnicą jest fakt, że moduł MAX31855 posiada wbudowany termometr wewnętrzny do mierzenia temperatury chipu.

Pomiar tej temperatury przy wykorzystaniu standardowej biblioteki nie jest możliwy do ominięcia, przez co czas konwersji modułu MAX31855 jest dwa razy dłuższy niż MAX6675.

Na rysunkach Rysunek 18 i Rysunek 19 zaprezentowane zostały zrzuty ekranu kodu mikrokontrolera Arduino wraz z komentarzami. Pierwszy z rysunków dotyczy deklaracji użycia poszczególnych modułów. Fragment ten znajduje się przed funkcją specjalną setup(). Dodatkowy element, nie pokazany na żadnym rysunku jest deklaracja bibliotek. Nazywają się one następująco: „Adafruit_MAX31855.h” i „max6675.h”.

```
96 //Czujniki cyfrowe do termopar MAX6675 (x2) i MAX31855 (do KS)
97 float KS_temp;
98 float therm_1;
99 float therm_2;
100
101 Adafruit_MAX31855 thermocouple_KS(11,13,12); // W kolejności: CLK, CS, DO
102 MAX6675 thermocouple_1(8,9,3); // W kolejności: CLK, CS, DO
103 MAX6675 thermocouple_2(17,15,16); // W kolejności: CLK, CS, DO
```

Rysunek 18. Zrzut ekranu fragmentu kodu mikrokontrolera pomiarowego, dotyczącego odczytu z termopar, część I

W liniach 97-99 występuje deklaracja zmiennych przechowujących wartości poszczególnych pomiarów. W liniach 101-103 następuje deklaracja obiektów poszczególnych pomiarów. Deklaracja odbywa się przez podanie nazwy klasy, nazwy obiektu wywołującego pomiar i numerów złącz obsługujących dany moduł. W tym przypadku klasy nazywają się „Adafruit_MAX31855”, oraz „MAX6675”. Nazwa obiektu jest dowolna, zaś złącza muszą być podawane w odpowiedniej kolejności: CLK (SCK), CK (CS), DO (SO). Oznaczenia w nawiasach pochodzą z nazewnictwa stosowanego w części azjatyckich fabryk.

Na następnym rysunku znajduje się fragment kodu wykonywanego przez funkcję „thermocouples()”, wspomnianą w 23. W kodzie funkcja ta znajduje się w oddzielnej karcie, nazwanej „termopary”.

W liniach 3-5 znajduje się odczyt temperatury przez termopary, oraz przyporządkowanie ich wartości do poszczególnych zmiennych. W następnych liniach następuje sprawdzenie czy odczyt został wykonany i dopisanie pomiaru do łańcuchu znaków wysyłanego przez port szeregowy, do komputera. W przypadku błędu w trakcie wykonywania pomiaru zostaje wysłana wartość -999. Linie 8-17 sprawdzają moduł MAX31855, 20-26 modułu MAX6675 mierzący temperaturę między stopniami turbinowi. Ostatni fragment (linie 29-35) dotyczą również modułu MAX6675, ale na wylocie z drugiego stopnia turbiny.

```

1 void thermocouples()
2 {
3     KS_temp = thermocouple_KS.readCelsius(); // MAX31855 - KS
4     therm_1 = thermocouple_1.readCelsius(); // MAX6675 - miedzystopniowe
5     therm_2 = thermocouple_2.readCelsius(); // MAX6675 - za TC
6
7     //MAX31855 - KS
8     if (isnan(KS_temp))
9     {
10         vals_str += ("040:-999\n");
11     }
12     else
13     {
14         vals_str += ("040:");
15         vals_str += (KS_temp);
16         vals_str += ("\n");
17     }
18
19     // MAX6675 - miedzystopniowe
20     if (isnan(therm_1)) {
21         vals_str += ("050:-999\n");
22     } else {
23         vals_str += ("050:");
24         vals_str += (therm_1);
25         vals_str += ("\n");
26     }
27
28     // MAX6675 - za TC
29     if (isnan(therm_2)) {
30         vals_str += ("060:-999\n");
31     } else {
32         vals_str += ("060:");
33         vals_str += (therm_2);
34         vals_str += ("\n");
35     }
36 }

```

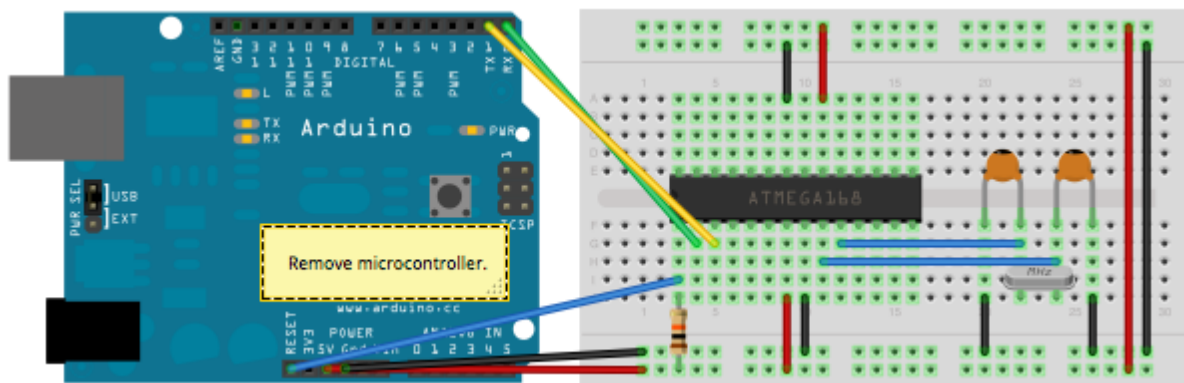
Rysunek 19. Zrzut ekranu fragmentu kodu mikrokontrolera pomiarowego, dotyczącego odczytu z termopar, część II

7.3. Inne pomiary

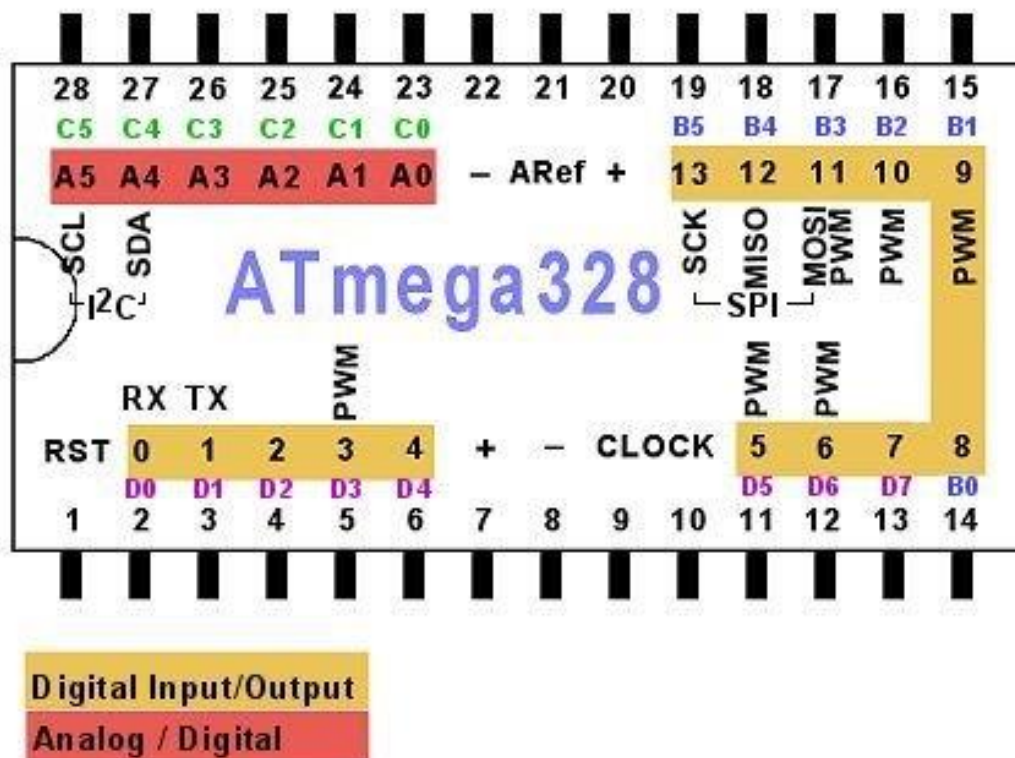
W przyszłości może zaistnieć potrzeba dodania nowych pomiarów, których czas konwersji przekracza kilka milisekund. W takiej sytuacji można zmniejszyć częstotliwość wysyłania paczek danych do komputera przez mikrokontroler Arduino. Jest to jednak nie wskazane z przyczyn omówionych we wcześniejszych etapach pracy. W takim przypadku jednym z możliwych rozwiązań jest przeniesienie nowych pomiarów, lub obecnych do nowej płytki Arduino, czy też do samego mikrokontrolera ATmega328, który jest mózgiem Arduino

UNO. Druga opcja jest tańszym i bardziej elastycznym pod względem ergonomii rozwiązaniem. Co więcej programowanie mikrokontrolera ATmega328 w sposób pokazany na Rysunek 20. Schemat do zaprogramowania mikrokontrolera ATmega328 (źródło: [4]) jest identyczny jak dowolnej płytki Arduino.

Z obecnego punktu widzenia najsensowniejszym krokiem modernizacji było by przeniesienie realizacji pomiarów częstotliwości na nowy mikrokontroler. Byłby on podrzędny w stosunku do obecnego mikrokontrolera pomiarowego. Z tego powodu na Rysunek 20 przedstawiony został schemat podłączenia mikrokontrolera, w celu jego programowania w standardowy sposób. Warunkiem jest posiadanie przez mikrokontroler



Rysunek 20. Schemat do zaprogramowania mikrokontrolera ATmega328 (źródło: [4])



Rysunek 21. Mapa złącz mikrokontrolera ATmega328 (źródło: www.hobbytronics.co.uk)

wgranego bootloadera. Więcej informacji na ten temat znajduje się na stronie producenta [4]. Warto wspomnieć, że w sieci znajduje się wiele poradników w języku polskim jak to dokładnie zrobić, oraz jak w razie potrzeby wgrać bootloader. Na Rysunek 21 została przedstawiona mapa złącz mikrokontrolera ATmega328. Jak można zauważyć ilość złącz cyfrowych i analogowych jest taka sama co w Arduino UNO.

Wracając do zagadnień technicznych w przypadku dostawienia jakiegokolwiek mikrokontrolera, należy zwolnić jeden z dwóch pozostałych portów szeregowych (pozostały o numerach 2 i 3). Należało by wtedy przepiąć dwa lub jedno złącze, w zależności od sposobu komunikacji między mikrokontrolerami (jedno czy dwustronna). Można to zrobić na dwa sposoby. Odpiąć złącze od poszczególnych modułów termopar (Serial2 – złącza 16 i 17), lub jednego od modułu termopary i od czujników DS18B20 (serial3 – złącza 15 i 14). Należało by następnie odpięte złącze przenieść do pozostałych wolnych złącz o numerach: 2,22-54. Na podanych złączach, z wyjątkiem 2 nie ma skręcanych śrubkami złączek, to znaczy, że należało by przewody wlutować do płytki Arduino.

7.4. Podsumowanie

Dodając każdy nowy pomiar należy pamiętać, aby nazwać go według nomenklatury z 28. Należy także uzupełnić informacje w pliku mapowanie.xml, który zostanie udostępniony dla osób zainteresowanych dalszym rozwojem projektu mikro turbiny gazowej.

Kolejnym skutkiem w momencie dołączenia do programu mikrokontrolera arduino nowego pomiaru jest konieczność uzupełnienia informacji w systemie SCADA. W przypadku braku takiej informacji, system nie będzie działał w ogóle. Więcej informacji na ten temat w [2].

8. AUTOSTART

Dodanie funkcji autostartu wiązało się z ingerencją w mikrokontroler sterujący. Wcześniej była tylko możliwość startu manualnego. Tryb manualny miał jednak swoje wady. Najważniejszymi z nich były: konieczna dobra znajomość turbiny przez użytkownika, oraz brak sprawdzenia stanu zapłonu w komorze spalania.

W rozdziale tym zostanie przedstawiony zarówno prosty schemat działania sekwencji autostartu, jak i kod dla mikrokontrolera Arduino do jego realizacji. Dodatkowo również zostanie przedstawiona zmiana funkcji w kodzie Arduino sterującego „turbine_work()”, która odpowiada za pracę turbiny po rozruchu.

Co więcej została usunięta część komunikacji z Arduino pomiarowym, a dokładniej wysyłanie danych z mikrokontrolera sterownika do mikrokontrolera pomiarowego. Zostało to zrealizowane, ponieważ mikrokontroler pomiarowy nie pobiera już żadnych danych z mikrokontrolera sterującego.

8.1. Opis działania wraz z kodem.

Sekwencja autostartu została całkowicie przerobiona. Dodatkowo została napisana sekwencja pracy turbiny po autostarcie, opisana w następnym rozdziale. Kod trybu manualnego został w niezmienionej formie.

Schemat działania jest bardzo podobny do schematu podanego w [1]. Jednakże wszystkie wartości początkowe, wyznaczane wcześniej empirycznie są inne. Takimi wartościami są: poziom startowe mocy silnika rozruchowego, oraz zaworu gazu. Dodatkowo zostały zmienione progi wskazujące na start turbiny. Były to: temperatura w komorze spalania i prędkość obrotowa wału turbosprężarki, która jest podawana w Hz. Temperatura progowa została ustawiona na 400°C. Może się wydawać niska w porównaniu do temperatur mogących występować w komorze spalania, ale empirycznie wyznaczono, że po maksymalnie 3 sekundach od zgaśnięcia płomienia, temperatura ta spada poniżej wyznaczonego progu. Wartość progowa prędkość obrotowej wału turbosprężarki ustawiona została empirycznie na 1000Hz.

Schemat działania jest stosunkowo prosty. Składa się z 7 kroków. Od początku procesu następuje ciągle sprawdzanie czy nie został naciśnięty przycisk stop. W punktach 4 i 6 w każdym przejściu przez pętle jest sprawdzany stan zapłonu. Jest to element bezpieczeństwa. Oto następujące kroki, wraz z zrzutami ekranu kodów je realizującymi:

1. Sprawdzenie wejść panelu kontrolnego, czy są wyzerowane, czekanie na naciśnięcie przycisku start, na skrzynce sterującej. Następnie Włączenie: pompy, zapłonu i otwarcie zawór zamykającego gaz (Rysunek 22).

```
205 void start_auto()
206 {
207     tryb_auto = true;
208
209     // Sprawdź wyzerowanie wejść panelu kontrolnego
210     lcd_print(0, "Tryb Auto");
211     lcd_print(1, "Wyzeruj wejścia");
212     while (!check_control_panel_I())
213     {communicate_with_measure();}
214     //////////////////////////////////////
215
216     //Tryb auto, czekaj na inicjalizację
217     lcd_print(0, "Tryb Auto");
218     lcd_print(1, "Wcisnij start");
219     while(!digitalRead(SW_START))
220     {communicate_with_measure();}
221     //////////////////////////////////////
222
223     //Włącz pompe
224     lcd_update(OIL) = HIGH;
225     lcd_update(REV) = HIGH;
226     lcd_print(0, "Włączam pompe ");
227     lcd_print(1, "p:      n:");
228     time_delay(autostart_delay, false);
229     set_DO(PUMP_OIL, ON);
230     //////////////////////////////////////
231
232     //Włącz zapłon
233     if (!digitalRead(SW_STOP)) {
234         lcd_print(0, "Włączam zapłon");
235         time_delay(autostart_delay, true);
236         set_DO(SPARK, ON);
237     } else {stop = true;}
238     //////////////////////////////////////
239
240     //Włącz zawór odc
241     if (!stop) {
242         if (!digitalRead(SW_STOP)) {
243             lcd_print(0, "Włączam zawór od");
244             time_delay(autostart_delay, true);
245             set_DO(VALVE_GAS, ON);}
246         else {stop = true;} }
247     //////////////////////////////////////
```

Rysunek 22. Zrzut ekranu kodu autostartu, krok 1

2. Ustawienie początkowej wartości mocy silnika rozruchowego, która wynosi 30% i odczekanie 4 sekund. Otwarcie zaworu gazu na ok. 5% i co sekundę zwiększanie poziomu jego otwarcia o 5%. Stabilny zapłon występuje przy 20%. Poziom otwarcia zaworu gazu jest ustawiany na 30% (Rysunek 23).

```

249 //Ustawienia wartosci poczatkowej powietrza, oraz stopniowe zwiekszenie gazu do 30%
250 if (!stop) {
251     lcd_print(0, "air:   gas:");
252     lcd_update[GAS] = true;
253     lcd_update[AIR] = true;
254     if (!digitalRead(SW_STOP)) {
255         set_PWM(AIR, air_start_level);
256         air_auto_level = air_start_level;
257         time_delay(autostart_delay*2, true);
258     } else {stop = true;} }
259 gas_auto_level = 0;
260 while ((gas_auto_level < gas_start_level) && !stop) {
261     gas_auto_level = gas_auto_level + 50;
262     if (digitalRead(SW_STOP))
263         {stop = true;} else {
264         time_delay(autostart_delay/2, true);
265         if (!digitalRead(SW_STOP))
266             {set_PWM(GAS, gas_auto_level);}
267         else {stop = true;} } }
268 //////////////////////////////////////

```

Rysunek 23. Zrzut ekranu kodu autostartu, krok 2

3. Sprawdzenie zapłonu. Jeżeli przez 15 sekund temperatura w danej chwili, w komorze spalania nie przekracza 600°C, lub średnia z dwóch lub trzech pomiarów (możliwość ustawienia) nie przekracza 400°C, włącza się sekwencja zatrzymywania turbiny (Rysunek 24).

```

270 // Sprawdzenie zaplonu przez max 15 sekund
271 unsigned long timer = millis();
272 while (((historia_termopar[0] < ((exhaust_temp_ignition_treshold*3)/2)) ||
273 (exhaust_temp < exhaust_temp_ignition_treshold)) && !stop) {
274     if (((millis() - timer)>autostart_abort_time) || digitalRead(SW_STOP))
275         {stop = true;}
276     else {time_delay(1, true);} }
277 //////////////////////////////////////

```

Rysunek 24. Zrzut ekranu kodu autostartu, krok 3

4. Pętla zwiększa moc silnika rozruchowego o 2% co sekundę, aż do 80%. W przypadku niedoboru gazu, co skutkuje skokami ciśnienia w obiegu, zostaje zwiększenie otwarcia zaworu gazu o ok. 6% (Rysunek 25).

```

289 //Petla zwiekszajaca moc powietrza do 80%
290 float before_air_press = air_press;
291 while ((air_auto_level <= 800) && !stop && !digitalRead(SW_STOP) && (exhaust_temp > exhaust_temp_ignition_treshold))
292 {
293     time_delay(autostart_delay/2, true);
294     air_auto_level += air_auto_incr;
295     if (before_air_press - air_press > air_press_drop) // turbina zaczyna kaszlec. brakuje gazu
296     { gas_auto_level += gas_auto_incr*3; } // to dodaj gazu
297     set_PWM(AIR, air_auto_level);
298     set_PWM(GAS, gas_auto_level);
299     before_air_press = air_press;
300 }
301 //////////////////////////////////////////////////

```

Rysunek 25. Zrzut ekranu kodu autostartu, krok 4

5. Punkt analogiczny do 3, czyli sprawdzenie zapłonu. Jeżeli przez 15 sekund temperatura w danej chwili, w komorze spalania nie przekracza 600°C, lub średnia z dwóch lub trzech pomiarów (możliwość ustawienia) nie przekracza 400°C, włącza się sekwencja zatrzymywania turbiny (Rysunek 26).

```

296 // Sprawdzenie zaplonu 2
297 timer = millis();
298 while (((historia_termopar[0] < ((exhaust_temp_ignition_treshold*3)/2)) ||
299 (exhaust_temp < exhaust_temp_ignition_treshold)) && !stop) {
300     if (((millis() - timer) > autostart_abort_time) || digitalRead(SW_STOP))
301     {stop = true;}
302     else {time_delay(1, true);}
303 //////////////////////////////////////////////////

```

Rysunek 26. Zrzut ekranu kodu autostartu, krok 5

6. Otwarcie zaworu gazu zostaje zwiększane co sekundę o 2%, aż do osiągnięcia wymaganych obrotów wału turbosprężarki, czyli 1000Hz. W przypadku otwarcia zaworu gazu wyższego niż 65% i nie osiągnięcia wymaganych obrotów następuje sekwencja zatrzymania turbiny. Po osiągnięciu wymaganych obrotów następuje otwarcie przepustnicy powietrza i wyłączenie zapłonu (Rysunek 27).

```

303 //Petla zwiekszajaca moc turbiny poprzez dodawanie gazu az do osiagniecia wymaganych obrotow
304 while ((crank_rev < crank_rev_start_treshold) && !stop) {
305     if (digitalRead(SW_STOP))
306         {stop = true;} else {
307         time_delay(autostart_delay/2, true);
308         if (crank_rev < crank_rev_start_treshold) {
309             gas_auto_level += gas_auto_incr;
310             if ((gas_auto_level > 650) || (exhaust_temp < exhaust_temp_ignition_treshold) || digitalRead(SW_STOP))
311                 {stop = true;}
312             else {set_PWM(GAS, gas_auto_level);} } } }
313 //////////////////////////////////////////////////
314
315 // Po osiagnieciu obrotow
316 if (!digitalRead(SW_STOP) && !stop) {
317     time_delay(autostart_delay/2, true);
318     set_DO(VAIVE_AIR, ON);
319     set_PWM(AIR, 0);}
320 else {stop = true;}
321 set_DO(SPARK, OFF);
322 //////////////////////////////////////////////////

```

Rysunek 27. Zrzut ekranu kodu autostartu, krok 6

7. Sprawdzenie czy turbina na pewno wystartowała, czyli sprawdzenie obrotów i temperatury w komorze spalania (Rysunek 28).

```

328 // Sprawdź czy turbina wystartowała
329 if ((crank_rev > crank_rev_start_treshold) && (exhaust_temp > exhaust_temp_ignition_treshold) && !stop && !digitalRead(SW_STOP))
330 {started = true; start = false;}
331 //////////////////////////////////////////////////
332 }

```

Rysunek 28. Zrzut ekranu kodu autostartu, krok 7

8.2. Tryb pracy turbiny po autostarcie

Gdyby turbina z autostartu przechodziła by do poprzedniej wersji funkcji „turbine_work”, to automatycznie zawór gazu zostałby zamknięty, a turbina zatrzymana. Działo się tak, ponieważ odczyt z potencjometru regulującego otwarcie zaworu gazu wynosił 0. Dlatego został napisany fragment kodu odpowiadający pracy turbiny po autostarcie.

```
397 void turbine_work()
398 {
399     lcd_update[AIR] = false;
400     lcd_update[GAS] = true;
401     if (tryb_auto == true)
402     {
403         lcd_update[GAS] = false;
404         lcd_print(0, "Ustaw regulator");
405         lcd_print(1, "gazu");
406
407         // Czekaj na ustawienie regulatora gazu
408         while ((analogRead(POT_GAS) < gas_auto_level) && !digitalRead(SW_STOP) && !stop
409             && (exhaust_temp > exhaust_temp_ignition_treshold) && (crank_rev > (crank_rev_start_treshold/2.))) {
410             communicate_with_measure();
411             check_oil_press();}
412         lcd_print(0, "Praca gaz:");
413         lcd_print(1, "p:      n:");
414         lcd_update[GAS] = true;
415         ///////////////////////////////////
416
417         // Praca turbiny, sterowanie mocą poziomem otwarcia zaworu gazu
418         while (!digitalRead(SW_STOP) && !stop && (exhaust_temp > exhaust_temp_ignition_treshold)
419             && (crank_rev > (crank_rev_start_treshold/2.))) {
420             set_PWM(GAS, analogRead(POT_GAS));
421             communicate_with_measure();
422             update_lcd();
423             check_oil_press();}
424         ///////////////////////////////////
425
426         stop = true;
427         tryb_auto = false;
428         started = false;
429     }
430     else
431     {
432         lcd_update[AIR] = false;
433         lcd_update[GAS] = true;
434         lcd_print(0, "Praca gaz:");
435         while (!digitalRead(SW_STOP) && !stop)
436         {
437             set_PWM(GAS, analogRead(POT_GAS));
438             communicate_with_measure();
439             update_lcd();
440             check_oil_press();
441             if (!check_start_tresholds()){ stop = true; }
442         }
443         started = false;
444     }
445 }
```

Rysunek 29. Funkcja turbine_work() w programie mikrokontrolera sterującego

Działanie funkcji, pokazanej na Rysunek 29. Funkcja `turbine_work()` w programie mikrokontrolera sterującego , można krótko opisać w następujący sposób. W instrukcji warunkowej „if”, w linii 401 jest sprawdzane, czy rozruch wystąpił przez sekwencje autostartu. Jeżeli rozruch był manualny to program przechodzi do linii 430, gdzie instrukcje pochodzą z wersji programu przed modernizacją.

Jeżeli natomiast rozruch nastąpił przez tryb automatyczny to pierwszą rzeczą jest prośba sterownika o ustawienie potencjometru regulującego otwarcie zaworu gazu (linie 407-415). Należy go wtedy powoli przekręcać według wskazówek zegara i obserwować wyświetlacz na skrzynce sterującej. W chwili gdy pozycja na potencjometrze będzie odpowiadała fizycznemu otwarciu zaworu gazu, następuje przełączenie na bezpośrednie sterowanie otwarciem zaworu gazu przez regulator (linie 417-424).

W trybie pracy, w zatrzymanie turbiny następuje w przypadku wystąpienia jednego z trzech zdarzeń. Jest to: spadek temperatury w komorze spalania poniżej 400°C, spadek ilości obrotów poniżej 500Hz, lub naciśnięcie przycisku stop.

9. ZAKOŃCZENIE

Zaprogramowanie i wykonanie automatycznego rozruchu zakończyło się pełnym sukcesem. Przeprowadzono również liczne testy systemów bezpieczeństwa zaimplementowanych w kodzie. Co więcej udało się sukcesywnie wmontować wszystkie nowe czujniki i zaimplementować ich pomiary.

Dzięki wykonanej nomenklaturze pomiarów, możliwe jest użycie systemu SCADA wykonanego przez Krzysztofa Setlaka [2]. Co więcej nomenklatura zawiera informacje na temat aktualnego stanu podłączonych czujników do mikrokontrolera pomiarowego. Dzięki temu łatwiejsze będzie dodawanie nowych czujników.

Uporządkowanie te, jak i kod realizujący działanie mikrokontrolerów zostaną udostępnione dla osób zainteresowanych dalszym rozwojem projektu mikro turbiny gazowej.

Dodatkowo planowana jest realizacja autostartu z poziomu systemu SCADA i/lub z aplikacji telefonu komórkowego. Dodatkowo będzie również możliwe zdalne sterowanie turbiną po autostarcie, co wyeliminuje niewygodę korzystania z regulatora otwarcia zaworu gazu.

Dodatek A: Kod mikrokontrolera pomiarowego

```
1 #include <OneWire.h>
2 #include <Wire.h>
3 #include <SFE_BMP180.h>
4 #include <SPI.h>
5 #include "Adafruit_MAX31855.h"
6 #include "max6675.h"
7
8 //WejDcia analogowe
9 byte PRESS_1 = 0; //Gaz przed KS
10 byte PRESS_2 = 2; //Olej za WC
11 byte PRESS_3 = 3; //Powietrze za sprzarka
12 byte PRESS_4 = 8; //Spaliny za TS
13 byte PRESS_5 = 9; //Woda w KN
14 byte FLOW_1 = 6; //Powietrze przed sprzarka
15 byte TEMP_1 = 7; //Powietrze przed sprzarka
16 byte FLOW_2 = 1; //Gaz przed KS
17 byte VOLTAGE_1 = 11; //Elektrycznosc alternator
18 byte CURRENT_1 = 10; //Elektrycznosc alternator
19
20 // Opis czujnikDw analogowych - AS - Analog Sensor
21 #define number_of_AS 10 // zmiana z 14 na 10
22 byte AS_pins[number_of_AS] = { PRESS_1, PRESS_2, PRESS_3, PRESS_4, PRESS_5, FLOW_1, TEMP_1, FLOW_2, VOLTAGE_1, CURRENT_1}; // Usuniete temp2-temp5
23 unsigned int AS_raw_values[number_of_AS] = { 0, 0, 0, 0, 0, 0, 0, 0, 0, 0}; // usuniete 4
24 float AS_values[number_of_AS] = { 0, 0, 0, 0, 0, 0, 0, 0, 0, 0}; // usuniete 4
25 float (*AS_conv_funs[number_of_AS])(float) = { convert_press_10,
26         convert_press_4,
27         convert_press_4,
28         convert_press_4,
29         convert_press_1,
30         convert_bosh_flow,
31         convert_bosh_temp,
32         convert_omron_flow,
33         convert_voltage_div,
34         convert_current_sens};
35 String AS_quantities[number_of_AS] = {"1","1","1","1","1","2","0","2","4","5"};
36 String AS_places[number_of_AS] = {"03","12","02","05","20","01","01","03","07","07"}; // w innych wersjach 20 moze byc 22
37
38 // WejDcia cyfrowe czujnikDw czDstotliwDci
39 byte FLOW_3 = 4; //Olej przed WC
40 byte FLOW_4 = 5; //Woda przed KN
41 byte REV_1 = 7; //Wal TS
42 byte REV_2 = 6; //Wal alternator
43
44 // Opis czujnikDw mierzDcych czDstotliwD FS - frequency sensor
45 #define number_of_FS 4
46 byte FS_pins[number_of_FS] = { FLOW_3, FLOW_4, REV_1, REV_2 };
47 boolean FS_states[number_of_FS] = { LOW, LOW, LOW, LOW };
48 float FS_values[number_of_FS] = { 0, 0, 0, 0};
49 float (*FS_conv_funs[number_of_FS])(float) = { convert_adafruit_flow,
50         convert_adafruit_flow,
51         convert_freq_sens1,
52         convert_freq_sens2};
53 String FS_quantities[number_of_FS] = {"2","2","3","3"};
54 String FS_places[number_of_FS] = {"12","20","30","31"};
55
56 // Czujniki cyfrowe, protokoDowe
57 SFE_BMP180 BMP180;
58 double TEMP0, PRESS0;
59
60 // Czujniki temperatury DS18B20
61 #define number_of_DS18B20 7
62 byte DS18B20_pin = 14;
63 OneWire ds(DS18B20_pin); // inicjalizacja magistrali OneWire obslugujacej czujniki temp ds18b20
64 byte DS18B20_ROMS[number_of_DS18B20 * 8] = {0x28, 0xFF, 0x47, 0x7, 0x11, 0x14, 0x0, 0x40, // Gaz przed KS
65         0x28, 0xFF, 0xB1, 0x39, 0x10, 0x14, 0x0, 0x8C, // Olej przed WC
66         0x28, 0xFF, 0xC4, 0xC, 0x11, 0x14, 0x0, 0x51, // Olej za WC
67         0x28, 0xFF, 0xB4, 0x11, 0x11, 0x14, 0x0, 0x99, // Powietrze za sprzarka
68         0x28, 0xFF, 0xC0, 0x33, 0x10, 0x14, 0x0, 0x37, // Woda KN
69         0x28, 0xFF, 0x4C, 0x7, 0x11, 0x14, 0x0, 0x30, // Woda zbiornik
70         0x28, 0xFF, 0xC0, 0x36, 0x11, 0x14, 0x0, 0x1D}; // Spaliny za KN
71 String DS18B20_places[] = {"03", "10", "11", "02", "20", "22", "08"}; // 11 nie istnieje, 3 pkt
72 float DS18B20_temps[number_of_DS18B20];
73
74 //Czujniki cyfrowe do termopar MAX6675 (x2) i MAX31855 (do KS)
75 float KS_temp;
76 float therm_1;
77 float therm_2;
78 float prev_KS_temp = 0;
79 Adafruit_MAX31855 thermocouple_KS(11,13,12); // W kolejności: CLK, CS, DO
80 MAX6675 thermocouple_1(8,9,3); // W kolejności: CLK, CS, DO
81 MAX6675 thermocouple_2(17,15,16); // W kolejności: CLK, CS, DO
```



```

82
83 // Transmisja parametrów do Arduino control - większość usunięta
84 #define num_of_tx_parameters 6
85 boolean com_started = false;
86 unsigned int tx_packets = 0;
87 unsigned int rx_packets = 0;
88 boolean started = false;
89
90 // Łącuchy znaków do transmisji
91 String vals_str;
92 String serial_communication;
93
94
95
96 void setup()
97 {
98     Serial.begin(115200);
99     Serial1.begin(115200);
100     BMP180.begin();
101 }
102
103 // Timing
104 unsigned int FS_timeout; // czas na odpytywanie czujników częstotliwości w ms - minimalna mierzona częstotliwość to 1/FS_timeout. wyliczany dynamicznie
105 unsigned int conversion_time = 750;
106 unsigned int cycle_time = 1000; // 1s na cykl
107 unsigned long cycle_start;
108 unsigned long loop_counter = 0;
109
110 void loop()
111 {
112     cycle_start = millis();
113     start_DS18B20_conversion();
114     read_BMP180();
115     read_AS();
116     convert_AS();
117     FS_timeout = conversion_time - (millis() - cycle_start);
118     read_FS_freqs();
119     read_DS18B20();
120     thermocouples();
121     communicate_with_control();
122     vals_str += ("\n");
123     do
124     {
125         Serial.print(vals_str); vals_str = "";
126     }
127     while ((millis() - cycle_start) < (cycle_time - 1));
128     loop_counter++;
129 }
130
131 void start_DS18B20_conversion()
132 {
133     for (byte DS18B20_num = 0; DS18B20_num < number_of_DS18B20; DS18B20_num++)
134     {
135         byte DS18B20_rom[8];
136         select_DS18B20(DS18B20_num, DS18B20_rom);
137         start_conversion(DS18B20_rom);
138     }
139 }
140
141 void read_AS()
142 {
143     for (byte AS_index = 0; AS_index < number_of_AS; AS_index++)
144     {
145         AS_raw_values[AS_index] = analogRead(AS_pins[AS_index]);
146     }
147 }
148
149 void convert_AS()
150 {
151     for (byte AS_index = 0; AS_index < number_of_AS; AS_index++)
152     {
153         float voltage = analog_to_voltage(AS_raw_values[AS_index]);
154         AS_values[AS_index] = AS_conv_funs[AS_index](voltage);
155         vals_str += (AS_places[AS_index]);
156         vals_str += (AS_quantities[AS_index]);
157         vals_str += (" ");
158         vals_str += (AS_values[AS_index]);
159         vals_str += '\n';
160     }
161 }
162
163 void read_BMP180()
164 {
165     int conversion_time;
166     conversion_time = BMP180.startTemperature();
167 }

```

```

163 delay(conversion_time);
164 BMP180.getTemperature(TEMP0);
165 conversion_time = BMP180.startPressure(3); // argument to poziom dokładności odczytu ciśnienia. 0-3
166 delay(conversion_time);
167 BMP180.getPressure(PRESS0, TEMP0);
168 vals_str+("000:"); //wyrzucone /t między temp i odczycieniem, otoczeniem, a \t i \t na koncu
169 vals_str+=(TEMP0); vals_str+="\n";
170 vals_str+("001:");
171 vals_str+=PRESS0; vals_str+="\n";
172 }
173
174 void read_FS_freqs()
175 {
176   unsigned int pulses[number_of_FS] = {0, 0, 0, 0};
177   boolean state = LOW;
178   boolean prev_state[number_of_FS] = {HIGH, HIGH, HIGH, HIGH};
179   unsigned long start = millis(); // odczytujemy czas początkowy
180   unsigned long loop_counter = 0;
181   boolean previous_state = HIGH;
182   unsigned int my_pulses = 0;
183   while (millis() - start <= FS_timeout) // pętla która będzie działała przez czas freq_sensor_poll_time
184   {
185     for (byte FS_num = 0; FS_num < number_of_FS; FS_num++)
186     {
187       state = digitalRead(FS_pins[FS_num]);
188       if (state == HIGH && prev_state[FS_num] == LOW)
189       {pulses[FS_num]++;}
190       prev_state[FS_num] = state;
191     }
192     delayMicroseconds(200);
193     loop_counter++;
194   }
195   for (byte FS_num = 0; FS_num < number_of_FS; FS_num++)
196   {
197     FS_values[FS_num] = FS_conv_funs[FS_num](pulses[FS_num] / ((float)FS_timeout/1000));
198     vals_str+=(FS_places[FS_num]); vals_str+=(FS_quantities[FS_num]); vals_str+=(" "); vals_str+=(FS_values[FS_num]); vals_str+="\n";
199   }
200 }
201
202 void read_DS18B20()
203 {
204   for (byte DS18B20_num = 0; DS18B20_num < number_of_DS18B20; DS18B20_num++)
205   {
206     byte DS18B20_rom[8];
207     select_DS18B20(DS18B20_num, DS18B20_rom);
208     float temp = read_temperature_sensor(DS18B20_rom);
209     if (temp > 0 && temp < 200){ DS18B20_temps[DS18B20_num] = temp; }
210     vals_str+=(DS18B20_places[DS18B20_num]); vals_str+=("0"); vals_str+=(" "); vals_str+=(DS18B20_temps[DS18B20_num]); vals_str+="\n";
211   }
212 }
213
214 // KOMUNIKACJA Z ARDUINO STERUJĄCYM <> KOMUNIKACJA Z ARDUINO STERUJĄCYM <> KOMUNIKACJA Z ARDUINO STERUJĄCYM
215
216 void communicate_with_control()
217 {
218   establish_communication();
219   unsigned long start = millis();
220   communicate();
221 }
222
223 void establish_communication()
224 {
225   do
226   {Serial1.print('s'); }
227   while (Serial1.read() != 's');
228 }
229
230 void communicate()
231 {
232   serial_communication = ("");
233   serial_communication += (AS_values[1]); serial_communication += (" ");
234   serial_communication += (AS_values[2]); serial_communication += (" ");
235   serial_communication += (FS_values[2]); serial_communication += (" ");
236   serial_communication += (AS_values[5]); serial_communication += (" ");
237   serial_communication += (KS_temp);
238   Serial1.println(serial_communication);
239   Serial1.flush();
240   tx_packets++;
241 }
242
243

```

Dodatek B: Kod mikrokontrolera sterującego

```
1 #include <Arduino.h>
2 #include <Wire.h> // standardowa biblioteka Arduino
3 #include <LiquidCrystal_I2C.h> // dołączenie pobranej biblioteki I2C dla LCD
4 enum{
5     MANUAL,
6     AUTO,
7     TEST,
8 };
9 #define ON false
10 #define OFF true
11 //Debugowanie ogólne
12 #define in 0 //Sprawdzanie stanu wejść
13 #define out 1 //Sprawdzanie stanu wyjść
14 #define com 2 //Podgląd komunikacji
15 bool debug[] = {LOW, LOW, LOW};
16
17 // Piny analogowe
18 byte POT_GAS = 15;
19 byte POT_AIR = 14;
20
21 // Sterowanie wyjściami
22 byte PWM_AIR = 2;
23 byte PWM_GAS = 3;
24 byte RELAY_PUMP_OIL = 4;
25 byte RELAY_SPARK = 5;
26 byte RELAY_VALVE_AIR = 6;
27 byte RELAY_NC = 7;
28 byte RELAY_PUMP_WATER = 8;
29 byte RELAY_VALVE_GAS = 9;
30
31 // Panel kontrolny
32 byte SW_MAN_AUTO = 43;
33 byte DIODE_START = 44;
34 byte SW_PUMP = 45;
35 byte SW_SPARK = 46;
36 byte SW_START = 47;
37 byte SW_STOP = 48;
38 byte SW_VALVE_GAS = 49;
39 byte SW_VALVE_AIR = 50;
40 byte DIODE_STOP = 51;
41 byte SW_TACT2 = 52;
42 byte SW_TACT1 = 53;
43
44 //Zmienne opisujące wejścia cyfrowe tj. przełączniki
45 #define num_of_DI 9
46 String DI_names[num_of_DI] = { "SW_MAN_AUTO", "SW_PUMP", "SW_SPARK", "SW_START", "SW_STOP", "SW_VALVE_GAS", "SW_VALVE_AIR", "SW_TACT2", "SW_TACT1" };
47 byte DI_pins[num_of_DI] = { SW_MAN_AUTO, SW_PUMP, SW_SPARK, SW_START, SW_STOP, SW_VALVE_GAS, SW_VALVE_AIR, SW_TACT2, SW_TACT1 };
48 boolean DI_vals[num_of_DI] = { LOW, LOW, LOW, LOW, LOW, LOW, LOW, LOW, LOW };
49
50 //Zmienne opisujące wejścia analogowe tj. potencjometry
51 #define num_of_AI 2
52 String AI_names[num_of_AI] = { "POT_AIR", "POT_GAS", };
53 byte AI_pins[num_of_AI] = { POT_AIR, POT_GAS };
54 unsigned int AI_vals[num_of_AI] = { 0, 0 };
55
56 //Zmienne opisujące wyjścia cyfrowe tj. przekaźniki i diody
57 #define num_of_DO 8
58 String DO_names[num_of_DO] = { "RELAY_PUMP_OIL", "RELAY_SPARK", "RELAY_VALVE_AIR", "RELAY_NC", "RELAY_PUMP_WATER", "RELAY_VALVE_GAS", "DIODE_START", "DIODE_STOP" };
59 byte DO_pins[num_of_DO] = { RELAY_PUMP_OIL, RELAY_SPARK, RELAY_VALVE_AIR, RELAY_NC, RELAY_PUMP_WATER, RELAY_VALVE_GAS, DIODE_START, DIODE_STOP };
60 bool DO_vals[num_of_DO] = { OFF, OFF, OFF, OFF, OFF, OFF, OFF, OFF };
61 enum {PUMP_OIL, SPARK, VALVE_AIR, NC, PUMP_WATER, VALVE_GAS, START, STOP };
62
63 //Zmienne opisujące wyjścia PWM czyli sterownik ZR i SR
64 #define num_of_PWM 2
65 String PWM_names[num_of_PWM] = { "PWM_AIR", "PWM_GAS" };
66 byte PWM_pins[num_of_PWM] = { PWM_AIR, PWM_GAS, };
67 int PWM_vals[num_of_PWM] = { 0, 0 };
68 byte PWM_adjust[2][2] = {{40, 140},{51, 206}}; // Tablica korygująca sterowanie. Sterowanie PWM zawiera się od wartości pierwszej do drugiej. Tablica 1 dla powietrza 2 dla gazu.
69 enum { AIR, GAS, };
70
71 //Tablica grupująca wszystkie wejścia
72 byte control_panel_DI[] = {SW_PUMP, SW_SPARK, SW_VALVE_GAS, SW_VALVE_AIR, SW_TACT2};
73 byte control_panel_AI[] = {POT_GAS, POT_AIR};
74
75 //Zmienne komunikacji z Measure
76 bool transmit = false;
77 bool com_started = false;
78 unsigned int tx_packets = 0;
79 unsigned int rx_packets = 0;
80
```

```

81 //Zmienne otrzymywane od Measure
82 float oil_press = 2.22;
83 float air_flow;
84 float air_press;
85 float crank_rev = 1000;
86 float exhaust_temp = 30;
87 #define history_number 3
88 float historia_termopar[history_number] = {30,30,30};
89
90 //Progi na zmienne
91 float oil_press_treshold = -1; // Prog poniżej, którego turbina się wyłącza
92 float air_flow_start_treshold = -1; // Prog, który wskazuje, że turbina ruszyła [kg/h]
93 float air_press_start_treshold = -1; // Prog, który wskazuje, że turbina ruszyła [bar]
94 float crank_rev_start_treshold = 1000; // Prog, który wskazuje, że turbina ruszyła [Hz]
95 float exhaust_temp_ignition_treshold = 400; // Prog, który zatrzymuje silnik rozruchowy podczas wychładzania turbiny [C]
96
97 //Definicja parametrów wyświetlacza
98 #define max_lcd_col 16
99 #define max_lcd_row 2
100 LiquidCrystal_I2C lcd(0x27, 2, 1, 0, 4, 5, 6, 7, 3, POSITIVE); // Ustawienie adresu układu na 0x27
101 bool lcd_update[] = {LOW, LOW, LOW, LOW};
102 enum { OIL=2, REV=3 };
103
104 //Zmienne wyznaczające stan turbiny
105 bool start, started;
106 bool stop = false;
107
108 //Zmienne parametryzujące auto start
109 int autostart_delay = 2000; //standardowy delay do operacji w trybie auto
110 int autostart_abort_time = 15000; //jesli po tym czasie nie dojdzie do zaplonu to procedura zatrzymania
111 int air_start_level = 300; //początkowe ustawienie poziomu SR - wartosc 0-1023
112 int gas_start_level = 300; //początkowe ustawienie poziomu ZR - wartosc 0-1023
113 int air_auto_level = 300;
114 int gas_auto_level = 300;
115 byte air_auto_incr = 20; //krok zwiększania mocy SR
116 byte gas_auto_incr = 20; //krok zwiększania otwarcia ZR
117 float air_press_drop = 0.2;
118 boolean tryb_auto = 0; // 0 i nie dotyczy
119
120
121 void setup()
122 {
123     Serial.begin(115200);
124     Serial1.begin(115200);
125     lcd.backlight();
126     lcd.begin(max_lcd_col, max_lcd_row);
127     set_pins();
128     zero_outputs();
129 }
130
131 void set_pins()
132 {
133     // Piny analogowe
134     pinMode(POT_GAS, INPUT);
135     pinMode(POT_AIR, INPUT);
136     // Sterowanie wyjściami
137     pinMode(PWM_AIR, OUTPUT);
138     pinMode(PWM_GAS, OUTPUT);
139     pinMode(RELAY_PUMP_OIL, OUTPUT);
140     pinMode(RELAY_SPARK, OUTPUT);
141     pinMode(RELAY_VALVE_AIR, OUTPUT);
142     pinMode(RELAY_NC, OUTPUT);
143     pinMode(RELAY_PUMP_WATER, OUTPUT);
144     pinMode(RELAY_VALVE_GAS, OUTPUT);
145     // Panel kontrolny
146     pinMode(SW_MAN_AUTO, INPUT);
147     pinMode(DIODE_START, OUTPUT);
148     pinMode(SW_PUMP, INPUT);
149     pinMode(SW_SPARK, INPUT);
150     pinMode(SW_START, INPUT);
151     pinMode(SW_STOP, INPUT);
152     pinMode(SW_VALVE_GAS, INPUT);
153     pinMode(SW_VALVE_AIR, INPUT);
154     pinMode(DIODE_STOP, OUTPUT);
155     pinMode(SW_TACT2, INPUT);
156     pinMode(SW_TACT1, INPUT);
157 }
158
159 void zero_outputs()
160 {
161     for (byte DO_device_index = 0; DO_device_index < num_of_DO-2; DO_device_index++) {
162         byte pin = DO_pins[DO_device_index];
163         digitalWrite(pin, OFF);
164     }
165     for (byte PWM_device_index = 0; PWM_device_index < num_of_PWM ; PWM_device_index++) {
166         byte pin = PWM_pins[PWM_device_index];
167         analogWrite(pin, 0);
168     }
169 }
170
171 void loop()
172 {
173     boolean mode = mode_select();
174     if (mode == AUTO) { start_auto(); } // Zrealizuj tryb rozruchu auto
175     if (mode == MANUAL) { start_manual(); } // Zrealizuj tryb rozruchu manual
176     if (started) { turbine_work(); } // Jeśli turbina wystartowała poprawnie to wejdź w tryb pracy
177     turbine_stop(); // Wyłącz turbinę.
178 }
179
180 void time_delay(unsigned int time, bool check_oil = false)
181 {

```



```

181 unsigned long timer = millis();
182 while (millis() - timer < time)
183 {
184     communicate_with_measure();
185     update_lcd();
186     if (check_oil){ check_oil_press(); }
187 }
188 }
189
190 boolean mode_select()
191 {
192     lcd_print(0, "Wybierz tryb");
193     lcd_print(1, "Zatwierdz PP");
194     boolean mode;
195     while(!digitalRead(SW_TACT2))
196     {
197         mode = digitalRead(SW_MAN_AUTO);
198         communicate_with_measure();
199         //if (digitalRead(SW_TACT1)){ return TEST;}
200     }
201     start = true;
202     return mode;
203 }
204
205 void start_auto()
206 {
207     tryb_auto = true;
208
209     // Sprawdz wyzerowanie wejsc panelu kontrolnego
210     lcd_print(0, "Tryb Auto");
211     lcd_print(1, "Wyzeruj wejscia");
212     while (!check_control_panel_I())
213     {communicate_with_measure();}
214     ///////////////////////////////////////////////////
215
216     //Tryb auto, czekaj na inicjalizacje
217     lcd_print(0, "Tryb Auto");
218     lcd_print(1, "Wcisnij start");
219     while(!digitalRead(SW_START))
220     {communicate_with_measure();}
221     ///////////////////////////////////////////////////
222
223     //Wlacz pompe
224     lcd_update[OIL] = HIGH;
225     lcd_update[REV] = HIGH;
226     lcd_print(0, "Wlaczam pompe ");
227     lcd_print(1, "p:      n:");
228     time_delay(autostart_delay, false);
229     set_DO(PUMP_OIL, ON);
230     ///////////////////////////////////////////////////
231
232     //Wlacz zaplon
233     if (!digitalRead(SW_STOP)) {
234         lcd_print(0, "Wlaczam zaplon");
235         time_delay(autostart_delay, true);
236         set_DO(SPARK, ON);
237     } else {stop = true;}
238     ///////////////////////////////////////////////////
239
240     //Wlacz zawor odc
241     if (!stop) {
242         if (!digitalRead(SW_STOP)) {
243             lcd_print(0, "Wlaczam zawor od");
244             time_delay(autostart_delay, true);
245             set_DO(VALVE_GAS, ON);}
246         else {stop = true;} }
247     ///////////////////////////////////////////////////
248
249     //Ustawienia wartosci poczatkowej powietrza, oraz stopniowe zwiekszanie gazu do 30%
250     if (!stop) {
251         lcd_print(0, "air:      gas:");
252         lcd_update[GAS] = true;
253         lcd_update[AIR] = true;
254         if (!digitalRead(SW_STOP)) {
255             set_PWM(AIR, air_start_level);
256             air_auto_level = air_start_level;
257             time_delay(autostart_delay*2, true);
258             } else {stop = true;} }
259     gas_auto_level = 0;
260     while ((gas_auto_level < gas_start_level) && !stop) {
261         gas_auto_level = gas_auto_level + 50;
262         if (digitalRead(SW_STOP))
263             {stop = true;} else {
264             time_delay(autostart_delay/2, true);
265             if (!digitalRead(SW_STOP))
266                 {set_PWM(GAS, gas_auto_level);}
267             else {stop = true;} } }
268     ///////////////////////////////////////////////////
269

```

```

270 // Sprawdzenie zaplonu przez max 15 sekund
271 unsigned long timer = millis();
272 while ((historia_termopar[0] < ((exhaust_temp_ignition_treshold*3)/2)) || (exhaust_temp < exhaust_temp_ignition_treshold) && !stop) {
273     if ((millis() - timer)>autostart_abort_time) || digitalRead(SW_STOP))
274         {stop = true;}
275     else {time_delay(1, true);}
276     //////////////////////////////////////
277
278 //Petla zwiekszajaca moc powietrza do 65%
279 float before_air_press = air_press;
280 while ((air_auto_level < 660) && !stop) {
281     if (digitalRead(SW_STOP))
282         {stop = true;}
283     else {time_delay(autostart_delay/2, true);}
284     air_auto_level += air_auto_incr;
285     if ((exhaust_temp < exhaust_temp_ignition_treshold) || digitalRead(SW_STOP))
286         {stop = true;}
287     if (!stop) {
288         if ((before_air_press - air_press)>air_press_drop) // turbina zaczyna kaszlec. brakuje gazu
289             {gas_auto_level += gas_auto_incr*3;} // to dodaj gazu
290         set_PWM(AIR, air_auto_level);
291         set_PWM(GAS, gas_auto_level);
292         before_air_press = air_press; }
293     //////////////////////////////////////
294
295 // Sprawdzenie zaplonu 2
296 timer = millis();
297 while ((historia_termopar[0] < ((exhaust_temp_ignition_treshold*3)/2)) || (exhaust_temp < exhaust_temp_ignition_treshold) && !stop) {
298     if ((millis() - timer)>autostart_abort_time) || digitalRead(SW_STOP))
299         {stop = true;}
300     else {time_delay(1, true);}
301     //////////////////////////////////////
302
303 //Petla zwiekszajaca moc turbiny poprzez dodawanie gazu az do osiagniecia wymaganych obrotow
304 while ((crank_rev < crank_rev_start_treshold) && !stop) {
305     if (digitalRead(SW_STOP))
306         {stop = true;} else {
307         time_delay(autostart_delay/2, true);
308         if (crank_rev < crank_rev_start_treshold) {
309             gas_auto_level += gas_auto_incr;
310             if ((gas_auto_level > 650) || (exhaust_temp < exhaust_temp_ignition_treshold) || digitalRead(SW_STOP))
311                 {stop = true;}
312             else {set_PWM(GAS, gas_auto_level);} } }
313     //////////////////////////////////////
314
315 // Po osiagnieciu obrotow
316 if (!digitalRead(SW_STOP) && !stop) {
317     time_delay(autostart_delay/2, true);
318     set_DO(VALUE_AIR, ON);
319     set_PWM(AIR, 0);}
320 else {stop = true;}
321 set_DO(SPARK, OFF);
322     //////////////////////////////////////
323
324 // Sprawdź czy turbina wystartowała
325 if (((crank_rev) > crank_rev_start_treshold) && (exhaust_temp > exhaust_temp_ignition_treshold) && !stop && !digitalRead(SW_STOP))
326     {started = true; start = false;}
327     else {stop = true;}
328     //////////////////////////////////////
329 }
330
331 void start_manual()
332 {
333     // Sprawdź wyzerowanie wejsc panelu kontrolnego
334     lcd_print(0, "Tryb Manual");
335     lcd_print(1, "Wyzeruj wejścia");
336     while (!check_control_panel_I())
337     {
338         communicate_with_measure();
339     }
340     //////////////////////////////////////
341
342 // Czekaj na sygnał włączenia pompy
343 lcd_print(0, "Włącz pompe ");
344 lcd_print(1, "p:      n:");
345 lcd_update[OIL] = HIGH;
346 lcd_update[REV] = HIGH;
347 while (!digitalRead(SW_PUMP) && !digitalRead(SW_STOP))
348 {
349     communicate_with_measure();
350     update_lcd();

```

```

351 }
352 set_DO(PUMP_OIL, ON);
353 set_DO(PUMP_WATER, ON);
354 // Czekaj na sygnał włączenia zapłonu
355 lcd_print(0, "Włącz zapłon");
356 while (!digitalRead(SW_SPARK) && !digitalRead(SW_STOP))
357 {
358     communicate_with_measure();
359     update_lcd();
360     check_oil_press();
361 }
362 set_DO(SPARK, ON);
363
364 // Czekaj na sygnał włączenia zaworu odcinającego
365 lcd_print(0, "Włącz zawór odc.");
366 while (!digitalRead(SW_VALVE_GAS) && !digitalRead(SW_STOP))
367 {
368     communicate_with_measure();
369     update_lcd();
370     check_oil_press();
371 }
372 set_DO(VAIVE_GAS, ON);
373
374 // Steruj silnikiem rozruchowym i zaworem gazu
375 lcd_print(0, "air:   gas:");
376 lcd_update[GAS] = true;
377 lcd_update[AIR] = true;
378 while (!digitalRead(SW_VALVE_AIR) && !digitalRead(SW_STOP))
379 {
380     set_PWM(AIR, analogRead(POT_AIR));
381     set_PWM(GAS, analogRead(POT_GAS));
382
383     communicate_with_measure();
384     update_lcd();
385     check_oil_press();
386 }
387 set_PWM(AIR, 0);
388 set_DO(VAIVE_AIR, ON);
389 set_DO(SPARK, OFF);
390
391 // Sprawdź czy turbina wystartowała
392 if (check_start_tresholds()){
393     started = true; start = false;
394 }
395 }
396
397 void turbine_work()
398 {
399     lcd_update[AIR] = false;
400     lcd_update[GAS] = true;
401     if (tryb_auto == true)
402     {
403         lcd_update[GAS] = false;
404         lcd_print(0, "Ustaw regulator");
405         lcd_print(1, "gazu");
406
407         // Czekaj na ustawienie regulatora gazu
408         while ((analogRead(POT_GAS) < gas_auto_level) && !digitalRead(SW_STOP) && !stop
409             && (exhaust_temp > exhaust_temp_ignition_treshold) && (crank_rev > (crank_rev_start_treshold/2.))) {
410             communicate_with_measure();
411             check_oil_press();
412             lcd_print(0, "Praca   gaz:");
413             lcd_print(1, "p:       n:");
414             lcd_update[GAS] = true;
415             ///////////////////////////////////
416
417             // Praca turbiny, sterowanie mocą poziomem otwarcia zaworu gazu
418             while (!digitalRead(SW_STOP) && !stop && (exhaust_temp > exhaust_temp_ignition_treshold)
419                 && (crank_rev > (crank_rev_start_treshold/2.))) {
420                 set_PWM(GAS, analogRead(POT_GAS));
421                 communicate_with_measure();
422                 update_lcd();
423                 check_oil_press();
424                 ///////////////////////////////////
425
426                 stop = true;
427                 tryb_auto = false;
428                 started = false;
429             }
430         }
431     }
432     lcd_update[AIR] = false;
433     lcd_update[GAS] = true;
434     lcd_print(0, "Praca   gas:");
435     while (!digitalRead(SW_STOP) && !stop)
436     {
437         set_PWM(GAS, analogRead(POT_GAS));
438         communicate_with_measure();
439         update_lcd();
440         check_oil_press();
441         if (!check_start_tresholds()){ stop = true; }
442     }
443     started = false;
444 }
445 }

```



```

446
447 void turbine_stop()
448 {
449     lcd_print(0, "Stop turbiny");
450     stop = true;
451     set_DO(STOP, HIGH);
452     set_DO(START, LOW);
453     set_DO(VALUE_GAS, OFF);
454     time_delay(1000, true);
455     set_DO(VALUE_AIR, OFF);
456     set_PWM(AIR, 0);
457     set_PWM(GAS, 0);
458     lcd_print(0, "air:      stop");
459     lcd_update[GAS] = false;
460     lcd_update[AIR] = true;
461
462     // Ramp UP
463     int air_ramp_time = 10000;
464     for (int air_reading = 0; air_reading < 1023; air_reading++)
465     {
466         set_PWM(AIR, air_reading);
467
468         unsigned long start = millis();
469         while (millis() - start < air_ramp_time / 1024)
470         {
471             if (air_reading % 100 == 0){
472                 communicate_with_measure();
473                 update_lcd();
474             }
475         }
476     }
477
478     unsigned long start_cool = millis();
479     while (millis() - start_cool < 30000){
480         communicate_with_measure();
481         update_lcd();
482     }
483
484     // Ramp DOWN
485     for (int air_reading = 1023; air_reading > 0; air_reading--)
486     {
487         set_PWM(AIR, air_reading);
488         unsigned long start = millis();
489         while (millis() - start < air_ramp_time / 1024)
490         {
491             if (air_reading % 100 == 0){
492                 communicate_with_measure();
493                 update_lcd();
494             }
495         }
496         set_PWM(AIR, 0);
497         set_DO(PUMP_OIL, OFF);
498         set_DO(PUMP_WATER, OFF);
499         lcd_update[AIR] = false;
500         started = false;
501         stop = false;
502         set_DO(STOP, LOW);
503     }
504
505     boolean check_control_panel_I()
506     {
507         byte control_panel_DI_quantity = 5;
508         byte control_panel_AI_quantity = 2;
509         byte on_num = 0;
510         int AI_check_treshold = 20;
511         boolean checked = false;
512
513         for (int DI_num = 0; DI_num < control_panel_DI_quantity; DI_num++)
514             if(digitalRead(control_panel_DI[DI_num])){on_num++;}
515
516         for (int AI_num = 0; AI_num < control_panel_AI_quantity; AI_num++)
517             if(analogRead(control_panel_AI[AI_num]) > AI_check_treshold){on_num++;}
518
519         if (on_num == 0)
520             {checked = true;}
521         return checked;
522     }
523
524     boolean check_start_tresholds()
525     {
526         boolean started = true;
527         if(air_flow < air_flow_start_treshold){started = false;}
528         if(air_press < air_press_start_treshold){started = false;}
529         if(crank_rev < crank_rev_start_treshold){started = false;}
530         return true;
531     }
532
533     void check_oil_press()
534     {
535         if (oil_press < oil_press_treshold) {
536             stop = true;
537             lcd_print(0, "p olej nis stop!");
538         }
539
540     void communicate_with_measure()
541     {
542         if (establish_communication()) { communicate(); }
543     }

```

```

544
545 boolean establish_communication()
546 {
547     if (Serial1.read() == 's'){
548         if (debug[com]){Serial.println('s');}
549         Serial1.print('s');
550         return true;
551     } else{ return false; }
552 }
553
554 void communicate()
555 {
556     float termopara;
557     while (Serial1.available() <= 15){} // wait for buffer to load
558     oil_press = Serial1.parseFloat();
559     air_press = Serial1.parseFloat();
560     crank_rev = Serial1.parseFloat();
561     air_flow = Serial1.parseFloat();
562     termopara = Serial1.parseFloat();
563     if (termopara != 0)
564     {
565         historia_termopar[2] = historia_termopar[1];
566         historia_termopar[1] = historia_termopar[0];
567         historia_termopar[0] = termopara;
568         exhaust_temp = ((historia_termopar[1] + historia_termopar[0])/2);
569     }
570     transmit = true;
571     rx_packets++;
572
573     // CZYSZCZENIE RESZTY BUFORA
574     while (Serial1.available() > 0) {
575         char x = Serial1.read();}
576 }
577
578 void set_PWM(byte device, int value)
579 {
580     byte pin = PWM_pins[device];
581     if (value < 6) {
582         analogWrite(pin, 0);
583         PWM_vals[device] = 0;
584     }
585     else
586     {
587         byte PWM_control_level = map(value, 0, 1023, PWM_adjust[device][0], PWM_adjust[device][1]); // z 1 0 sie zrobilo
588         analogWrite(pin, PWM_control_level);
589         PWM_vals[device] = map(value, 0, 1023, 0, 100);
590     }
591 }
592
593 void set_DO(byte device, boolean state)
594 {
595     byte pin = DO_pins[device];
596     digitalWrite(pin, state);
597     DO_vals[device] = state;
598 }

```

SPIS RYSUNKÓW

| | |
|--|----|
| RYSUNEK 1. SCHEMAT BLOKOWY MIKRO TURBINY GAZOWEJ (ŹRÓDŁO: [3]) | 10 |
| RYSUNEK 2. ZDJĘCIE MIKRO TURBINY GAZOWEJ..... | 10 |
| RYSUNEK 3. TABELA Z DANymi TECHNICZNYMI ARDUINO MEGA 2560 (ŹRÓDŁO: [4])..... | 11 |
| RYSUNEK 4. ARDUINO MEGA 2560 (ŹRÓDŁO: HIFIDUINO.WORDPRESS.COM) | 12 |
| RYSUNEK 5. PASEK NARZĘDZI PROGRAMU ARDUINOIDE | 14 |
| RYSUNEK 6. CZUJNIK ODBICIOWY (ŹRÓDŁO: [1])..... | 15 |
| RYSUNEK 7. ZAMONTOWANY CZUJNIK HALLA | 16 |
| RYSUNEK 8. MODUŁY DO TERMOPAR..... | 17 |
| RYSUNEK 9. PŁYTKA STYKOWA | 18 |
| RYSUNEK 10. REALIZACJA TESTU PŁYTKI + POMIAR CZASU WYKONYWANIA POMIARU | 18 |
| RYSUNEK 11. ZAINSTALOWANE TERMOPARY - OD LEWEJ: KOMORA SPALANIA, MIĘDZYSTOPNIOWA I WYLOTOWA | 19 |
| RYSUNEK 12. WNĘTRZE SZAFY PO MONTAŻU | 19 |
| RYSUNEK 13. ZRZUT EKRANU PRZYKŁADOWEGO KODU DLA MIKROKONTROLERA ARDUINO ... | 21 |
| RYSUNEK 14. ZRZUT EKRANU GŁÓWNEJ CZĘŚCI KODU MIKROKONTROLERA POMIAROWEGO.... | 24 |
| RYSUNEK 15. SCHEMAT BLOKOWY ODBIORU DANYCH PRZEZ MIKROKONTROLER ARDUINO | 27 |
| RYSUNEK 16. ZRZUT EKRANU SERIAL MONITORA ARDUINOIDE, PO PODŁĄCZENIU DO ARDUINO POMIAROWEGO MIKRO TURBINY GAZOWEJ..... | 33 |
| RYSUNEK 17. ZRZUT EKRANU FRAGMENTU KODU MIKROKONTROLERA POMIAROWEGO, DOTYCZĄCEGO CZUJNIKA DS18B20 | 35 |
| RYSUNEK 18. ZRZUT EKRANU FRAGMENTU KODU MIKROKONTROLERA POMIAROWEGO, DOTYCZĄCEGO ODCZYTU Z TERMOPAR, | 36 |
| RYSUNEK 19. ZRZUT EKRANU FRAGMENTU KODU MIKROKONTROLERA POMIAROWEGO, DOTYCZĄCEGO ODCZYTU Z TERMOPAR, | 37 |
| RYSUNEK 20. SCHEMAT DO ZAPROGRAMOWANIA MIKROKONTROLERA ATMEGA328 (ŹRÓDŁO: [4])..... | 38 |

| | |
|--|----|
| RYSUNEK 21. MAPA ZŁĄCZ MIKROKONTROLERA ATMEGA328 (ŹRÓDŁO: WWW.HOBBYTRONICS.CO.UK) | 38 |
| RYSUNEK 22. ZRZUT EKRANU KODU AUTOSTARTU, KROK 1 | 41 |
| RYSUNEK 23. ZRZUT EKRANU KODU AUTOSTARTU, KROK 2 | 42 |
| RYSUNEK 24. ZRZUT EKRANU KODU AUTOSTARTU, KROK 3 | 42 |
| RYSUNEK 25. ZRZUT EKRANU KODU AUTOSTARTU, KROK 4 | 43 |
| RYSUNEK 26. ZRZUT EKRANU KODU AUTOSTARTU, KROK 5 | 43 |
| RYSUNEK 27. ZRZUT EKRANU KODU AUTOSTARTU, KROK 6 | 44 |
| RYSUNEK 28. ZRZUT EKRANU KODU AUTOSTARTU, KROK 7 | 44 |
| RYSUNEK 29. FUNKCJA TURBINE_WORK() W PROGRAMIE MIKROKONTROLERA STERUJĄCEGO.. | 45 |

SPIS TABEL

| | |
|---|----|
| TABELA 1. LEGENDA NOMENKLATURY POMIARÓW | 28 |
| TABELA 2. NOMENKLATURA POMIARÓW DLA PROGRAMISTY ARDUINO..... | 29 |
| TABELA 3. NOMENKLATURA POMIARÓW DLA PROGRAMISTY SYSTEMU SCADA, CZĘŚĆ I | 31 |
| TABELA 4. NOMENKLATURA POMIARÓW DLA PROGRAMISTY SYSTEMU SCADA, CZĘŚĆ II | 31 |
| TABELA 5. NOMENKLATURA POMIARÓW DLA PROGRAMISTY SYSTEMU SCADA, CZĘŚĆ III..... | 32 |
| TABELA 6. NOMENKLATURA POMIARÓW DLA PROGRAMISTY SYSTEMU SCADA, CZĘŚĆ IV | 32 |

BIBLIOGRAFIA

- [1] J. Pleszyński, *Budowa układu turbiny gazowej z odbiorem mocy elektrycznej wyposażonej w układy automatycznego rozruchu i opomiarowania*, Warszawa, 2015.
- [2] K. Setlak, *Visualization of Operational Parameters of a Gas Microturbine*, Warszawa, 2016.
- [3] Arduino, [Online]. Available: <https://www.arduino.cc/>. [Data uzyskania dostępu: styczeń 2016].
- [4] E. Tołyż i A. Chelmińska, *Badanie małej turbiny gazowej*, Warszawa, 2015.
- [5] S. Monk, *Arduino dla początkujących*, Helion S.A, 2014.
- [6] Plociennik. [Online]. Available: www.plociennik.info/index.php/informatyka/systemy-wbudowane/arduino. [Data uzyskania dostępu: styczeń 2016].